

CONTRIBUTION

การพัฒนาโปรแกรมเพื่อใช้แสดงภาพการແກ່ງຮະຈາຍຂອງສະນາມແມ່ເຫັດໄຟຟ້າ ໃນທ່ອນໍາຄລື່ນໜິດຕ່າງໆ

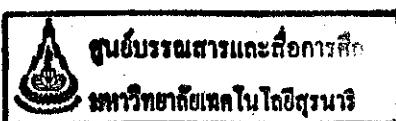
นายวรากรณ์ สาริชา

รายงานนี้เป็นส่วนหนึ่งของการศึกษาตามหลักสูตรปริญญาตรีวิชวกรรมศาสตรบัณฑิต

สาขาวิชวกรรมโทรคมนาคม

สำนักวิชาวิชวกรรมศาสตร์ มหาวิทยาลัยเทคโนโลยีสุรนารี

ปีการศึกษา ๒๕๔๖



ใบรับรองโครงการวิศวกรรมโทรคมนาคม

สาขาวิชาชีวกรรมศาสตร์

มหาวิทยาลัยเทคโนโลยีสุรนารี

หัวข้อโครงการ

การพัฒนาโปรแกรมเพื่อใช้แสดงภาพการแผ่กระจายของ
สนามแม่เหล็กไฟฟ้าในท่อนำคลื่นชนิดต่างๆ

นักศึกษา

นายวรกรณ์ สาริกา รหัส B4205920

ปริญญา

วิศวกรรมศาสตรบัณฑิต

พ.ศ.

2546

อาจารย์ที่ปรึกษาโครงการ

อ.ดร.รังสรรค์ วงศ์สรรค์

กรรมการสอบ	ลงนาม
อ.ดร.รังสรรค์ ทองทา	
อ.ดร.รังสรรค์ วงศ์สรรค์	
อ.ปิยาภรณ์ กระฉองดอนอก	

วันที่ 20 กันยายน 2546 เวลา 15.00 – 17.00 น

สถานที่ ห้องปฏิบัติการ โทรคมนาคม

หัวข้อโครงการ

การพัฒนาโปรแกรมเพื่อใช้แสดงภาพการแผ่กระจายของ
สนามแม่เหล็กไฟฟ้าในท่อนำคลื่นชนิดต่างๆ

นักศึกษา

นายวรากรณ์ สาริชา รหัส B4205920

ปริญญา

วิศวกรรมศาสตรบัณฑิต

พ.ศ.

2546

อาจารย์ที่ปรึกษาโครงการ

อ.ดร.รังสรรค์ วงศ์สรรค์

บทคัดย่อ

โครงการนี้ได้นำเสนอวิธีการพัฒนาโปรแกรมเพื่อใช้แสดงภาพการแผ่กระจายของสนามแม่เหล็กไฟฟ้าในท่อนำคลื่นชนิดต่างๆ ท่อนำคลื่นทั้งหมด 5 ชนิด ได้แก่ ท่อนำคลื่นแบบสี่เหลี่ยม (Rectangular Waveguide) ท่อนำคลื่นแบบวงกลม (Circular Waveguide) ท่อนำคลื่นแบบแกนร่วม (Coaxial Cylinder Waveguide) ท่อนำคลื่นแบบเซกเตอร์ของวงกลม (Sectoral Cylindrical Waveguide) และท่อนำคลื่นแบบเซกเตอร์ทั่วทรงกระบอกแกนร่วม (Concentric Sectoral Cylindrical Waveguide) โดยแสดงลักษณะการแผ่กระจายของสนามแม่เหล็กไฟฟ้าในแบบของรูปภาพ เพื่อให้สามารถพิจารณาและสังเกตแนวโน้มการแผ่กระจายของสนามแม่เหล็กไฟฟ้าในท่อนำคลื่นแต่ละชนิดได้อย่างชัดเจน โดยเริ่มจากการศึกษาสมการของสนามแม่เหล็กไฟฟ้าในท่อนำคลื่นแต่ละชนิด จากนั้นใช้โปรแกรมเพื่อการคำนวณเชิงตัวเลขและการสร้างภาพสมมติฐาน (MATLAB) พัฒนาโปรแกรมโดยใช้สมการของสนามแม่เหล็กไฟฟ้าในท่อนำคลื่นแต่ละชนิดแสดงผลการแผ่กระจายของสนามแม่เหล็กไฟฟ้าในท่อนำคลื่นแต่ละชนิดเป็นรูปภาพ ซึ่งสามารถตรวจสอบความถูกต้องของผลการแผ่กระจายของสนามแม่เหล็กไฟฟ้า ได้จากการวิจัยที่มีผู้กระทำมาก่อนแล้วสำหรับท่อนำคลื่นแบบสี่เหลี่ยมและแบบวงกลม และใช้วิธีการที่ถูกต้องนี้แสดงผลการแผ่กระจายของสนามแม่เหล็กไฟฟ้าในท่อนำคลื่นแบบอื่นต่อไป ซึ่งวิธีการแสดงการแผ่กระจายของสนามแม่เหล็กไฟฟ้าในท่อนำคลื่นชนิดต่างๆ ที่ได้นำเสนอไว้ในโครงการนี้จะเป็นการแสดงการแผ่กระจายของสนามไฟฟ้าของโหมด TE และการแผ่กระจายของสนามแม่เหล็กของโหมด TM เท่านั้น ส่วนการแผ่กระจายของสนามแม่เหล็กของโหมด TE และการแผ่กระจายของสนามไฟฟ้าของโหมด TM นั้นสามารถใช้สมการที่นำเสนอไว้ในโครงการนี้มาพัฒนาโปรแกรมเพื่อแสดงผลในส่วนที่เหลือได้ ซึ่งจะต้องศึกษาเพิ่มเติมในอนาคตต่อไป

กิตติกรรมประกาศ

ในการจัดทำโครงการพัฒนาโปรแกรมเพื่อใช้แสดงภาพการแผ่กระจายของสารน้ำแม่เหล็กไฟฟ้าในท่อน้ำคู่ลิ่นชนิดต่างๆ สามารถเสริจสมบูรณ์ได้เนื่องด้วยความกรุณาของบุคคลหลายท่านที่ความช่วยเหลือและปรึกษา รวมทั้งข้อเสนอแนะที่เป็นประโยชน์ต่อโครงการ ทางผู้จัดทำได้ขอแสดงความขอบพระคุณเป็นอย่างยิ่งต่อผู้ที่มีส่วนเกี่ยวข้องทุกท่าน ซึ่งประกอบด้วย

- ❖ ท่านอาจารย์ ดร. รังสรรค์ วงศ์สรรค์ ซึ่งเป็นอาจารย์ที่ปรึกษาโครงการที่ได้ให้ความช่วยเหลือทุกๆ ด้านที่เกิดประโยชน์ต่อโครงการทั้งในด้านวิชาการและการดูแลเอาใจใส่เพื่อให้โครงการสำเร็จไปได้ด้วยดี
- ❖ ท่านอาจารย์ ดร.รังสรรค์ ทองทา และท่านอาจารย์ ปิยาภรณ์ กระฉองดอนอก ได้สละเวลาอันมีค่าเยี่งมาเป็นคณะกรรมการในการสอนโครงการ
- ❖ นายเจษฎาพงษ์ ใจดี ให้ความอนุเคราะห์ตอนพิวเตอร์ Note Book เพื่อใช้ในการดำเนินโครงการในช่วงที่ต้องเดินทาง
- ❖ เพื่อนๆ วิศวกรรมโทรคมนาคมทุกคน สำหรับความช่วยเหลือที่ดีทุกด้านตลอดจนกำลังใจที่มอบให้คณะผู้จัดทำตลอดมา โดยเฉพาะนางสาวพิพนภา ทรัพย์ทวี นายเด่น กาแก้ว นายธนาวนนท์ พิก Jin และนายณรงค์ฤทธิ์ กวางแก้ว ที่ให้ความช่วยเหลือเกี่ยวกับเอกสารในช่วงนำเสนอโครงการ

ท้ายสุดนี้ผู้จัดทำขอกราบขอบพระคุณบิความารคายของผู้จัดทำผู้ให้โอกาสทางการศึกษาและค่ายสนับสนุนรวมทั้งกำลังใจที่อยมอบให้ตลอดมาอย่างหาที่เปรียบมิได้

สารบัญ

หน้า

บทคัดย่อ.....	๑
กิตติกรรมประกาศ.....	๒
สารบัญ.....	๓
สารบัญตาราง.....	๔
สารบัญรูป.....	๘
บทที่ 1 บทนำ.....	๑
1.1 กล่าวนำ.....	๑
1.2 วัตถุประสงค์ของโครงการ.....	๑
1.3 ขอบเขตของโครงการ.....	๒
1.4 ขั้นตอนในการดำเนินโครงการ.....	๒
1.5 ผลที่คาดว่าจะได้รับจากโครงการ.....	๒
บทที่ 2 สมการสนามแม่เหล็กไฟฟ้าในท่อนำคลื่นชนิดต่างๆ.....	๓
2.1 บทนำ.....	๓
2.2 ท่อนำคลื่นสี่เหลี่ยม (Rectangular Waveguide).....	๓
2.3 ท่อนำคลื่นแบบวงกลม (Circular waveguide).....	๑๐
2.4 ท่อนำคลื่นแบบเซกเตอร์ของวงกลม (Circular Sectoral Waveguide).....	๑๘
2.5 ท่อนำคลื่นแบบทรงกระบอกแกนร่วม (Coaxial Cylinders Waveguide).....	๒๐
2.6 ท่อนำคลื่นแบบเซกเตอร์ทรงกระบอกแกนร่วม (Concentric Sectoral Cylindrical Waveguide).....	๒๗
บทที่ 3 วิธีการพัฒนาโปรแกรมเพื่อแสดงการแผ่กระจายของสนามในท่อนำคลื่น.....	๓๐
3.1 กล่าวนำ.....	๓๐
3.2 วิธีการพัฒนาโปรแกรมเพื่อแสดงการแผ่กระจายของสนามในท่อนำคลื่น.....	๓๑
บทที่ 4 สรุปผลของโครงการ.....	๔๓

สารบัญ (ต่อ)

	หน้า
บรรณานุกรม.....	45
ประวัติผู้เขียน.....	46

สารบัญตาราง

หน้า

2.1 สรุปสมการเกี่ยวกับท่อน้ำคลื่นสีเหลือง.....	9
2.2 แสดงค่ารากของ Bessel Function ลำดับที่ n สำหรับโหมด TE: $J'_n(p_{nm}) = 0, p_{nm} \neq 0$	15
2.3 แสดงค่ารากของ Bessel Function ลำดับที่ n สำหรับโหมด TM: $J_n(p_{nl}) = 0, p_{nl} \neq 0$...	17
2.4 สมการที่เกี่ยวกับท่อน้ำคลื่นวงกลม	17
2.5 แสดงค่ารากของ Bessel Function ลำดับที่ n สำหรับโหมด TM; ค่าในตารางคือ $(b/a - 1) x_{mn}$	24
2.6 แสดงค่ารากของ Bessel Function ลำดับที่ m สำหรับโหมด TE; ค่าในตารางคือ $(b/a - 1) x_{nl}$	26

สารบัญรูป

หน้า

2.1 ท่อน้ำคลื่นแบบสี่เหลี่ยมนบพิกัดจาก.....	3
2.2 ท่อน้ำคลื่นแบบวงกลม.....	10
2.3 ท่อน้ำคลื่นแบบเชกเตอร์ของวงกลม.....	18
2.4 ท่อน้ำคลื่นแบบทรงกระบอกแกนร่วม.....	20
2.5 แสดงท่อน้ำคลื่นแบบเชกเตอร์ทรงกระบอกแกนร่วม ที่ มุมเท่ากับ 90 องศา 60 องศา และ 45 องศา.....	27
3.1 แสดงการแผ่กระจายสนามไฟฟ้าของโหนด TE ของท่อน้ำคลื่นสี่เหลี่ยม.....	31
3.2 แสดงการแผ่กระจายสนามไฟฟ้าของโหนด TE ของท่อน้ำคลื่นสี่เหลี่ยม.....	32
3.3 แสดงการแผ่กระจายสนามแม่เหล็กของโหนด TE ของท่อน้ำคลื่นสี่เหลี่ยม.....	33
3.4 แสดงการแผ่กระจายสนามไฟฟ้าของโหนด TE ของท่อน้ำคลื่นแบบวงกลม.....	34
3.5 แสดงการแผ่กระจายสนามแม่เหล็กของโหนด TM ของท่อน้ำคลื่นแบบวงกลม.....	35
3.6 แสดงการแผ่กระจายสนามไฟฟ้าของโหนด TE ของท่อน้ำคลื่นแบบเชกเตอร์ร่วงกลม.....	36
3.7 แสดงการแผ่กระจายสนามแม่เหล็กของโหนด TE ของท่อน้ำคลื่นแบบเชกเตอร์.....	36
3.8 แสดงการแผ่กระจายสนามไฟฟ้าของโหนด TE ของท่อน้ำคลื่นแบบเชกเตอร์ร่วงกลม.....	37
3.9 แสดงการแผ่กระจายสนามแม่เหล็กของโหนด TM ของท่อน้ำคลื่นแบบเชกเตอร์ร่วงกลม.....	37
3.10 แสดงการแผ่กระจายสนามไฟฟ้าของโหนด TE ของท่อน้ำคลื่นแบบทรงกระบอกแกนร่วม.....	37
3.11 แสดงการแผ่กระจายสนามแม่เหล็กของโหนด TM ของท่อน้ำคลื่นแบบทรงกระบอกแกนร่วม.....	38
3.12 แสดงการแผ่กระจายสนามไฟฟ้าของโหนด TE ของท่อน้ำคลื่นแบบเชกเตอร์ ทรงกระบอกแกนร่วม.....	39
3.13 แสดงการแผ่กระจายสนามแม่เหล็กของโหนด TM ของท่อน้ำคลื่นแบบเชกเตอร์ ทรงกระบอกแกนร่วม.....	40
3.14 แสดงการแผ่กระจายสนามไฟฟ้าของโหนด TE ของท่อน้ำคลื่นแบบเชกเตอร์ ทรงกระบอกแกนร่วม.....	40
3.15 แสดงการแผ่กระจายสนามแม่เหล็กของโหนด TM ของท่อน้ำคลื่นแบบวงกลมเชกเตอร์ทรงกระบอก แกนร่วม.....	41
3.16 แสดงการแผ่กระจายสนามไฟฟ้าของโหนด TE ของท่อน้ำคลื่นแบบเชกเตอร์ทรงกระบอกแกนร่วม	41
3.17 แสดงการแผ่กระจายสนามแม่เหล็กของโหนด TM ของท่อน้ำคลื่นแบบเชกเตอร์ ทรงกระบอกแกนร่วม.....	42

บทที่ 1

บทนำ

1.1 กล่าวนำ

โดยปกตินั้น การใช้งานคลื่นความถี่ย่านสูงๆ เช่นความถี่ไมโครเวฟนั้น โดยเฉพาะการเชื่อมต่อระหว่างอุปกรณ์ หรือการส่งคลื่นจากจุดหนึ่งไปยังอีกจุดหนึ่งนั้น จะใช้ท่อน้ำคลื่น ทำหน้าที่เป็นสายนำสัญญาณ เมื่อจากจะลดปัญหาการลดthonของสัญญาณและการสูญเสียอันเกิดจากสิ่งแวดล้อม ได้ดีกว่าสายนำสัญญาณชนิดอื่น โดยที่ท่อน้ำคลื่นมีลักษณะที่แตกต่างกันออกไปตามลักษณะการใช้งาน

สำหรับโครงงานนี้ได้พิจารณาท่อน้ำคลื่นทั้งหมด 5 ชนิด ได้แก่ ท่อน้ำคลื่นแบบสี่เหลี่ยม (Rectangular Waveguide) ท่อน้ำคลื่นแบบวงกลม (Circular Waveguide) ท่อน้ำคลื่นแบบแกนร่วม (Coaxial Cylinder Waveguide) ท่อน้ำคลื่นแบบเซกเตอร์ของวงกลม (Sectoral Cylindrical Waveguide) และท่อน้ำคลื่นแบบเซกเตอร์ของทรงกระบอกแกนร่วม (Concentric Sectoral Cylindrical Waveguide) โดยมุ่งเน้นที่ การสืบค้นวิธีแสดงการแผ่กระจายคลื่นสนามแม่เหล็กไฟฟ้า ในท่อน้ำคลื่นแต่ละชนิดด้วยรูปภาพ โดยพัฒนาการเขียนโปรแกรมคอมพิวเตอร์ เพื่อสามารถนำผลที่ได้จากการสืบค้นไปศึกษาและนำผลที่ได้ไปประยุกต์งานต่อไปใช้ หรือเป็นพื้นฐานในการพัฒนาท่อน้ำคลื่นเพื่อให้มีประสิทธิภาพมากขึ้นต่อไป

1.2 วัตถุประสงค์ของโครงงาน

1.2.1. เพื่อศึกษาวิธีการคำนวณหาสมการสามมิติซึ่งเป็นองค์ประกอบของสนามแม่เหล็กไฟฟ้าในท่อน้ำคลื่นแต่ละชนิด ได้แก่ ท่อน้ำคลื่นแบบสี่เหลี่ยม (Rectangular Waveguide) ท่อน้ำคลื่นแบบวงกลม (Circular Waveguide) [1] ท่อน้ำคลื่นแบบแกนร่วม (Coaxial Cylinder Waveguide) [2] ท่อน้ำคลื่นแบบเซกเตอร์ของวงกลม (Sectoral Cylindrical Waveguide) [7] และท่อน้ำคลื่นแบบเซกเตอร์ของทรงกระบอกแกนร่วม (Concentric Sectoral Cylindrical Waveguide) [5]

1.2.2. เพื่อศึกษาลักษณะของการแผ่กระจายของสนามแม่เหล็กไฟฟ้าภายในท่อน้ำคลื่นแต่ละชนิด โดยแสดงเป็นรูปภาพ

1.2.3. เพื่อศึกษาและพัฒนาการเขียนโปรแกรมคอมพิวเตอร์ เพื่อให้แสดงผลของการแผ่กระจายของสนามแม่เหล็กไฟฟ้าภายในท่อน้ำคลื่นแต่ละชนิด

1.3 ขอบเขตของโครงการ

สำหรับโครงการฉบับนี้ได้นำเสนอการแพร่กระจายของสนามแม่เหล็กไฟฟ้าในท่อนำคลื่นแต่ละชนิด โดยแสดงลักษณะการแพร่กระจายของสนามแม่เหล็กไฟฟ้าอยู่ในเชิงรูปภาพ เพื่อให้สามารถพิจารณาและสังเกตแนวโน้มการแพร่กระจายของสนามแม่เหล็กไฟฟ้าในท่อนำคลื่นแต่ละชนิดได้อย่างชัดเจน โดยเริ่มจาก

1.3.1 ศึกษาสมการแม่เหล็กไฟฟ้าพื้นฐานของท่อนำคลื่นแต่ชนิด รวมไปถึงที่มาของตัวแปรที่เกี่ยวข้องกับสมการนั้น

1.3.2 ศึกษาโปรแกรม Matlab ใช้ในการเขียนโปรแกรมเพื่อแสดงการแพร่กระจายสนามแม่เหล็กไฟฟ้าในท่อนำคลื่นแต่ละชนิด

1.3.3 แสดงการแพร่กระจายของสนามแม่เหล็กไฟฟ้า ในลักษณะของรูปภาพ โดยใช้โปรแกรมที่พัฒนาขึ้นมาเอง

1.4 ขั้นตอนในการดำเนินโครงการ

1.4.1 ศึกษาสมการแม่เหล็กไฟฟ้าพื้นฐานของท่อนำคลื่นแต่ชนิด โดยพิจารณาตัวแปรที่เกี่ยวข้องกับสมการสนามแม่เหล็กไฟฟ้าในท่อนำคลื่นของโหมดนั้นๆ อย่างละเอียด

1.4.2 เลือกใช้โปรแกรมเพื่อการคำนวณเชิงตัวเลขและโปรแกรมเพื่อใช้ในการสร้างภาพสมรรถนะสูงเวอร์ชัน 6.1 (Matlab 6.1) เพื่อใช้ในการแสดงผลการกระจายของสนามแม่เหล็กไฟฟ้าเป็นรูปภาพ

1.4.3 พัฒนาโปรแกรมโดยใช้ร่วมกับสมการสนามแม่เหล็กไฟฟ้าในท่อนำคลื่นแต่ละชนิด เพื่อแสดงผลการกระจายสนามแม่เหล็กไฟฟ้าเป็นรูปภาพ

1.4.4 สรุปผลที่ได้จากการศึกษาการแพร่กระจายของสนามแม่เหล็กไฟฟ้าในท่อนำคลื่นแต่ละชนิด

1.5 ผลที่คาดว่าจะได้รับจากโครงการ

1.5.1 พัฒนากระบวนการคิด และการวิเคราะห์อย่างเป็นระบบเพื่อให้ได้ผลลัพธ์ที่ถูกต้อง และแม่นยำที่สุด

1.5.2 ทักษะทางด้านการคำนวณสนามแม่เหล็กไฟฟ้าในท่อนำคลื่นแต่ละชนิด

1.5.3 พัฒนาทักษะในการประยุกต์ใช้โปรแกรม Matlab เพื่อนำมาคำนวณหาผลเฉลยทางด้านสนามแม่เหล็กไฟฟ้า

1.5.4 ผลที่ได้จากการสืบค้นการแพร่กระจายสนามแม่เหล็กไฟฟ้าในโครงการฉบับนี้จะเป็นพื้นฐานในการวิเคราะห์และการประยุกต์ใช้งานเกี่ยวกับท่อนำคลื่นต่อไป

บทที่ 2

สมการสนาณแม่เหล็กไฟฟ้าในท่อนำคืนชั้นดิตต่างๆ

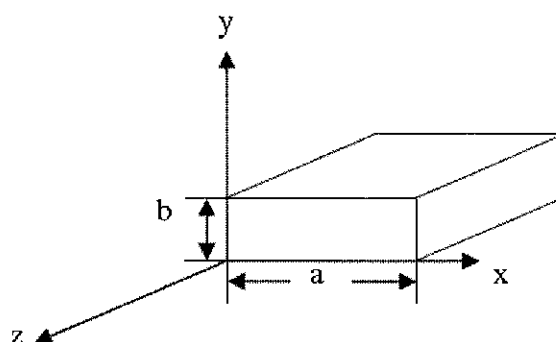
2.1 บทนำ

ในการพิจารณาลักษณะการแผ่กระจายของสนาณแม่เหล็กไฟฟ้าภายในท่อนำคืนชั้นดิตต่างๆ นั้น สิ่งที่สำคัญที่สุดก็คือจะต้องทราบสมการขององค์ประกอบของสนาณแม่เหล็กและสนาณไฟฟ้าในแต่ละองค์ประกอบนั้นเกิดขึ้นภายในท่อนำคืนแต่ละชนิด ในบทนี้จะเป็นการแสดงวิธีการคำนวณเพื่อหาองค์ประกอบของสนาณแม่เหล็กและสนาณไฟฟ้าที่เกิดขึ้น โดยเริ่มต้นศึกษาจากการคำนวณหาองค์ประกอบของสนาณทั้งสองภายในท่อนำคืนแบบสี่เหลี่ยม (Rectangular Waveguide) ท่อนำคืนแบบวงกลม (Circular Waveguide) [1] ท่อนำคืนแบบแกนร่วม (Coaxial Waveguide) [2] ท่อนำคืนแบบเชกเตอร์ของวงกลม (Sectoral Cylindrical Waveguide) [7] และท่อนำคืนแบบเชกเตอร์ของวงกลมแกนร่วม (Concentric Sectoral Cylindrical Waveguide) [5] เพื่อที่จะได้นำมาใช้ในการพัฒนาเชิงเป็นโปรแกรมเพื่อศึกษาลักษณะการแผ่กระจายของสนาณในรูปแบบของรูปภาพต่อไป

2.2 ท่อนำคืนสี่เหลี่ยม (Rectangular Waveguide)

ในการศึกษาสมการพื้นฐานของคลื่นที่แผ่กระจายภายในท่อนำคืนสี่เหลี่ยมนั้น เราสามารถพิจารณาได้ทั้ง การแผ่กระจายสนาณไฟฟ้าในแนววางหรือ TE Mode (Transverse Electric Mode) และการแผ่กระจายสนาณแม่เหล็กในแนววางหรือ TM Mode (Transverse Magnetic Mode) ในที่นี้กำหนดให้คลื่นเดินทางในทิศทาง $+z$ โดยมีขนาดของท่อนำคืนในทิศทาง $+x$ เท่ากับ a และขนาดของท่อนำคืนในทิศทาง $+y$ เท่ากับ b โดยที่ $a > b$ (กำหนดให้ $a = 2b$) ดังรูปที่ 2.1 โดยการกำหนดพารามิเตอร์พื้นฐานที่ใช้ร่วมกันทั้ง 2 โหมดดังนี้

- สภาพย้อมทางไฟฟ้าของอากาศภายในท่อนำคืน (ϵ_r , Permittivity of relative) เท่ากับ 1
- สภาพย้อมทางแม่เหล็กของอากาศภายในท่อนำคืน (μ_r , Permeability of relative) เท่ากับ 1



รูปที่ 2.1 ท่อนำคืนแบบสี่เหลี่ยมบนพิกัดสาม

2.2.1 TE Modes

TE Modes หรือ Transverse Electric Modes เป็นโหมดที่มีเฉพาะค่าไฟฟ้าขวางทิศการเดินทาง ($+z$) จะไม่เกิดสนามไฟฟ้าในทิศการเดินทาง ($+z$) ดังนั้นจึงมีเฉพาะสนามแม่เหล็กเท่านั้น นั่นคือ $E_z = 0$ แต่ $H_z \neq 0$ ดังนั้นเราต้องหาสมการของ H_z ออกมาก่อน เพื่อใช้เป็นจุดเริ่มต้นในการหาสนามในองค์ประกอบอื่นต่อไป เมื่อพิจารณาจากสมการของเชลล์ม ไฮล์ Holtz (Helmholtz wave equation)

$$\left(\frac{\partial^2}{\partial x^2} + \frac{\partial^2}{\partial y^2} + \frac{\partial^2}{\partial z^2} + k_c^2 \right) H_z = 0 \quad (2.1)$$

โดยที่ $H_z(x, y, z) = h_z(x, y) e^{-j\beta z}$ ทำให้สามารถลดรูปสมการ (2.1) ให้เหลือเพียง 2 มิติ คือ

$$\left(\frac{\partial^2}{\partial x^2} + \frac{\partial^2}{\partial y^2} + k_c^2 \right) h_z(x, y) = 0 \quad (2.2)$$

และ $k_c^2 = k^2 + \beta^2$ ซึ่ง k_c คือ ตัวเลขคลื่นตัด(Cutoff Wavenumber)

k คือ ตัวเลขคลื่น(Wavenumber)

β คือ ค่าคงที่การแผ่กระจายคลื่น(Propagation constant)

จากสมการ (2.1) สามารถใช้วิธีการแยกตัวแปร (Variable Separation method) จะได้ว่า

$$h_z(x, y) = X(x)Y(y) \quad (2.2)$$

และเมื่อแทนลงไปในสมการที่ (2.1) จะได้ว่า

$$\frac{1}{X} \frac{d^2 X}{dx^2} + \frac{1}{Y} \frac{d^2 Y}{dy^2} + k_c^2 = 0 \quad (2.3)$$

เนื่องจากการใช้วิธีการแยกตัวแปรของแต่ละองค์ประกอบในสมการที่ (2.3) จะได้เป็นค่าคงที่ นั่นคือ กำหนดให้ค่าคงที่ดังกล่าวมีค่าเป็น k_x และ k_y จะได้

$$\frac{d^2 X}{dx^2} + k_x^2 X = 0, \quad (2.4a)$$

$$\frac{d^2 Y}{dy^2} + k_y^2 Y = 0 \quad (2.4b)$$

โดยที่

$$k_x^2 + k_y^2 = k_c^2 \quad (2.5)$$

และสามารถแก้สมการหาค่า h_z ได้นั่นคือ

$$h_z(x, y) = (A \cos k_x x + B \sin k_x x)(C \cos k_y y + D \sin k_y y) \quad (2.6)$$

ในการหาค่าคงที่ A, B, C, และ D ในสมการที่ (2.6) ต้องใช้เงื่อนไขขอบเขตของสนามไฟฟ้าบริเวณแนวสัมผัสท่อน้ำคลื่นมาช่วยในการพิจารณา นั่นคือ

$$e_x(x, y) = 0, \quad \text{ที่ } y = 0, b \quad (2.7a)$$

$$e_y(x, y) = 0, \quad \text{ที่ } x = 0, a \quad (2.7b)$$

ด้วยเหตุนี้เราจึงสามารถใช้ h_z ในสมการที่ (2.6) มาคิดตรงๆ ได้ แต่จะต้องใช้เงื่อนในการหาสนามในองค์ประกอบอื่นๆ มาช่วยในการหา e_x และ e_y ก่อน ด้วยสมการที่ (2.8c) และ (2.8d) จากข้างล่างนี้

$$H_x = \frac{-j\beta \partial H_z}{k_c^2 \partial x} \quad (2.8a)$$

$$H_y = \frac{-j\beta \partial H_z}{k_c^2 \partial y} \quad (2.8b)$$

$$E_x = \frac{-j\omega \mu \partial H_z}{k_c^2 \partial y} \quad (2.8c)$$

$$E_y = \frac{j\omega \mu \partial H_z}{k_c^2 \partial x} \quad (2.8d)$$

จะเห็นได้ว่าการหาสนามในองค์ประกอบต่างๆ จากสมการ (2.8a) - (2.8d) นั้นต้องอาศัย H_z ทั้งนั้น และในทางกลับกันเราจึงสามารถใช้เงื่อนไขเดียวกันในการหา e_x และ e_y จากสมการที่ (2.8c) และ (2.8d) จะได้ว่า

$$e_x = \frac{-j\omega\mu}{k_c^2} k_y (A \cos k_x x + B \sin k_x x) (-C \sin k_y y + D \cos k_y y) \quad (2.9a)$$

$$e_y = \frac{-j\omega\mu}{k_c^2} k_x (-A \sin k_x x + B \cos k_x x) (C \cos k_y y + D \sin k_y y) \quad (2.9b)$$

จากนี้เงื่อนไขข้อมูลในสมการที่ (2.7a) แก้สมการร่วมกับสมการที่ (2.9a) ข้างต้น จะได้ว่า

$$D = 0, \text{ และ } k_y = \frac{n\pi}{b}, \text{ โดยที่ } n \text{ คือเลขโรมด มีค่าเป็น } 0, 1, 2, 3 \dots$$

และจากเงื่อนไขข้อมูลในสมการที่ (2.7b) แก้สมการร่วมกับสมการที่ (2.9b) ทำนองเดียวกัน จะได้ว่า

$$B = 0, \text{ และ } k_x = \frac{m\pi}{a}, \text{ โดยที่ } m \text{ คือเลขโรมด มีค่าเป็น } 0, 1, 2, 3 \dots$$

สุดท้ายแล้วจะได้ H_z เป็น

$$H_z(x, y, z) = A_{mn} \cos \frac{m\pi x}{a} \cos \frac{n\pi y}{b} e^{-j\beta z} \quad (2.10)$$

โดยที่ A_{mn} เป็นขนาดของสนามที่เกิดจากการรวมกันของค่า A และ C จากสมการที่ (2.6)

จากนั้นจะสามารถหาสนามตามขวางของโรมด TE_{mn} โดยการแทน (10) ลงในสมการที่ (2.8a) - (2.8d) จะได้ว่า

$$E_x = \frac{j\omega\mu n\pi}{k_c^2 b} A_{mn} \cos \frac{m\pi x}{a} \sin \frac{n\pi y}{b} e^{-j\beta z} \quad (2.11a)$$

$$E_y = \frac{-j\omega\mu m\pi}{k_c^2 a} A_{mn} \sin \frac{m\pi x}{a} \cos \frac{n\pi y}{b} e^{-j\beta z} \quad (2.11b)$$

$$H_x = \frac{j\beta m\pi}{k_c^2 a} A_{mn} \sin \frac{m\pi x}{a} \cos \frac{n\pi y}{b} e^{-j\beta z} \quad (2.11c)$$

$$H_y = \frac{j\beta n\pi}{k_c^2 b} A_{mn} \cos \frac{m\pi x}{a} \sin \frac{n\pi y}{b} e^{-j\beta z} \quad (2.11d)$$

โดยที่ ค่าคงที่การแผ่กระจายคลื่น (β) เป็น

$$\beta = \sqrt{k^2 - k_c^2} = \sqrt{k^2 - \left(\frac{m\pi}{a}\right)^2 - \left(\frac{n\pi}{b}\right)^2} \quad (2.12)$$

ซึ่งค่า β นั้นต้องเป็นค่าจำนวนจริง ดังนั้น $k > k_c$ เสมอ จะได้ว่า

$$k_c = \sqrt{\left(\frac{m\pi}{a}\right)^2 - \left(\frac{n\pi}{b}\right)^2}$$

เนื่องจากแต่ละโหนดนั้นบ่งบอกด้วยพารามิเตอร์ m และ n ตามลำดับ นั้นคือเราสามารถหาค่าความถี่ตัด (Cutoff frequency, $f_{c_{mn}}$) ได้จาก

$$f_{c_{mn}} = \frac{k_c}{2\pi\sqrt{\mu\varepsilon}} = \frac{1}{2\pi\sqrt{\mu\varepsilon}} \sqrt{\left(\frac{m\pi}{a}\right)^2 + \left(\frac{n\pi}{b}\right)^2} \quad (2.13)$$

ซึ่งจะเรียก โหนดที่มีความถี่ตัดต่ำที่สุดว่า โหนดโคมิแนนท์ (Dominant mode) สำหรับโหนด TE นั้น โหนดที่เป็นโคอมิแนนท์ คือ โหนด TE_{10} ($m = 1$ และ $n = 0$) ซึ่งค่าความถี่ตัดของ โหนด TE_{10} สามารถดูรูป สมการได้เป็น

$$f_{c_{10}} = \frac{1}{2a\sqrt{\mu\varepsilon}} \quad (2.3a)$$

ส่วนของพารามิเตอร์ต่างๆ ที่ยังไม่ได้กล่าวไว้ในข้างต้นสามารถหาได้ด้วยสมการที่ขับช้อน ซึ่งจะแสดง ไว้ในตารางสรุปสมการในตอนท้ายของบทนี้ อีกครั้งหนึ่ง

2.2.2 TM Modes

TM Modes หรือ Transverse Magnetic Modes เป็นโหนดที่มีเฉพาะคลื่นแม่เหล็กอยู่ในแนววางกับทิศ การเดินทางของคลื่น ($+z$) ซึ่งจะไม่เกิดสนามแม่เหล็กในทิศการเดินทาง ($+z$) และจะเกิดขึ้นเฉพาะสนามแม่ไฟฟ้าเท่านั้นนั่นคือ $H_z = 0$ แต่ $E_z \neq 0$ ดังนั้นเราต้องหาสมการของ E_z ออกมาก่อน เพื่อใช้เป็นจุดเริ่มต้นในการหาสนามในองค์ประกอบอื่นต่อไป

พิจารณาในลักษณะเดียวกับ โหนด TE โดยใช้สมการของไฮล์ฟ์ (Helmholtz wave equation) จะเปลี่ยนเป็น

$$\left(\frac{\partial^2}{\partial x^2} + \frac{\partial^2}{\partial y^2} + \frac{\partial^2}{\partial z^2} + k_c^2 \right) E_z = 0 \quad (2.14)$$

โดยที่ $E_z(x, y, z) = e_z(x, y) e^{-j\beta z}$ ทำให้สามารถลดรูปสมการ (2.1) ให้เหลือเพียง 2 มิติ คือ

$$\left(\frac{\partial^2}{\partial x^2} + \frac{\partial^2}{\partial y^2} + k_c^2 \right) e_z(x, y) = 0 \quad (2.15)$$

จาก สมการที่ (2.15) สามารถใช้วิธีการแยกตัวแปรซึ่งจะได้สมการในลักษณะเดียวกับ โหมด TE ทุก ประการ จากนั้นพิจารณาในลักษณะเดียว จะได้ว่า

$$e_z(x, y) = (A \cos k_x x + B \sin k_x x)(C \cos k_y y + D \sin k_y y) \quad (2.16)$$

เมื่อใช้เงื่อนไขของเขตที่นำมานี้พิจารณาจะเปลี่ยนเป็น

$$e_z(x, y) = 0, \quad \text{at } x = 0, a \quad (2.17a)$$

$$e_z(x, y) = 0, \quad \text{at } y = 0, b \quad (2.17b)$$

จากเงื่อนไขของเขตจะเห็นได้ว่า e_z เป็นฟังชันของ e_x และ e_y โดยตรง นั่นคือจะได้ว่า

$$e_x = \frac{-j\omega\mu}{k_c^2} k_y (A \cos k_x x + B \sin k_x x)(-C \sin k_y y + D \cos k_y y) \quad (2.18a)$$

$$e_y = \frac{-j\omega\mu}{k_c^2} k_x (-A \sin k_x x + B \cos k_x x)(C \cos k_y y + D \sin k_y y) \quad (2.18b)$$

จากนั้นเงื่อนไขของเขตในสมการที่ (2.17a) จะนำมาใช้แก่สมการร่วมกับสมการที่ (2.16) ข้างต้น จะได้ว่า

$$A = 0, \quad \text{และ} \quad k_x = \frac{m\pi}{a}, \quad \text{โดยที่ } m \text{ คือเลขโழด มีค่าเป็น } 1, 2, 3, \dots$$

และจากเงื่อนไขของเขตในสมการที่ (17b) แก่สมการร่วมกับสมการที่ (2.16) ทำนองเดียวกัน จะได้ว่า

$$C = 0, \quad \text{และ} \quad k_y = \frac{n\pi}{b}, \quad \text{โดยที่ } n \text{ คือเลขโழด มีค่าเป็น } 1, 2, 3, \dots$$

สุดท้ายแล้วเราจะได้ E_z เป็น

$$E_z(x, y, z) = B_{mn} \sin \frac{m\pi x}{a} \sin \frac{n\pi y}{b} e^{-j\beta z} \quad (2.19)$$

โดยที่ B_{mn} เป็นขนาดของสนามที่เกิดจากการรวมกันของค่า B และ D จากสมการที่ (2.6) เราสามารถหา สนามตามข้างของ โหมด TM_{mn} ในทิศทางอื่นๆ โดยการแทน (2.19) ลงในสมการที่ (2.20a) - (2.20d)

$$H_x = \frac{-j\omega\epsilon\partial E_z}{k_c^2 \partial y} \quad (2.20a)$$

$$H_y = \frac{-j\omega\epsilon\partial E_z}{k_c^2 \partial x} \quad (2.20b)$$

$$E_x = \frac{-j\beta \partial E_z}{k_c^2 \partial x} \quad (2.20c)$$

$$E_y = \frac{-j\beta \partial E_z}{k_c^2 \partial y} \quad (2.20d)$$

จะได้ว่า

$$E_x = \frac{-j\beta m\pi}{ak_c^2} B_{mn} \cos \frac{m\pi x}{a} \sin \frac{n\pi y}{b} e^{-j\beta z} \quad (2.21a)$$

$$E_y = \frac{-j\beta n\pi}{bk_c^2} B_{mn} \sin \frac{m\pi x}{a} \cos \frac{n\pi y}{b} e^{-j\beta z} \quad (2.21b)$$

$$H_x = \frac{-j\omega \epsilon n\pi}{bk_c^2} B_{mn} \sin \frac{m\pi x}{a} \cos \frac{n\pi y}{b} e^{-j\beta z} \quad (2.21c)$$

$$H_y = \frac{-j\omega \epsilon m\pi}{ak_c^2} B_{mn} \cos \frac{m\pi x}{a} \sin \frac{n\pi y}{b} e^{-j\beta z} \quad (2.21d)$$

โดยที่โหมด โหมดมิแวนท์ ของโหมด TM_{mn} ได้แก่ โหมด TM_{11}

ตารางที่ 2.1 สรุปสมการเกี่ยวกับท่อน้ำคัลลีส์เหล็ก

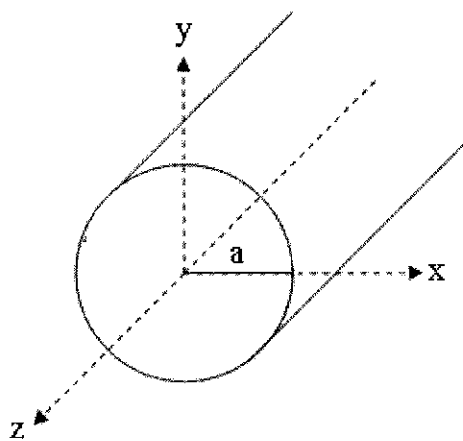
Quantity	TE_{mn} Modes	TM_{mn} Modes
k	$\omega \sqrt{\mu \epsilon}$	$\omega \sqrt{\mu \epsilon}$
k_c	$\sqrt{(m\pi/a)^2 + (n\pi/b)^2}$	$\sqrt{(m\pi/a)^2 + (n\pi/b)^2}$
β	$\sqrt{k^2 - k_c^2}$	$\sqrt{k^2 - k_c^2}$
λ_c	$\frac{2\pi}{k_c}$	$\frac{2\pi}{k_c}$
λ_g	$\frac{2\pi}{\beta}$	$\frac{2\pi}{\beta}$
v_p	$\frac{\omega}{\beta}$	$\frac{\omega}{\beta}$
α_d	$\frac{k^2 \tan \delta}{2\beta}$	$\frac{k^2 \tan \delta}{2\beta}$
E_z	0	$B_{mn} \sin \frac{m\pi x}{a} \sin \frac{n\pi y}{b} e^{-j\beta z}$

ตารางที่ 2.1 (ต่อ) สรุปสมการเกี่ยวกับท่อน้ำકลีนสีเหลี่ยม

Quantity	TE _{mn} Modes	TM _{mn} Modes
H_z	$A_{mn} \cos \frac{m\pi x}{a} \cos \frac{n\pi y}{b} e^{-j\beta z}$	0
E_x	$\frac{j\omega\mu n\pi}{k_c^2 b} A_{mn} \cos \frac{m\pi x}{a} \sin \frac{n\pi y}{b} e^{-j\beta z}$	$\frac{-j\beta m\pi}{k_c^2 a} B_{mn} \cos \frac{m\pi x}{a} \sin \frac{n\pi y}{b} e^{-j\beta z}$
E_y	$\frac{-j\omega\mu m\pi}{k_c^2 a} A_{mn} \sin \frac{m\pi x}{a} \cos \frac{n\pi y}{b} e^{-j\beta z}$	$\frac{-j\beta n\pi}{k_c^2 b} B_{mn} \sin \frac{m\pi x}{a} \cos \frac{n\pi y}{b} e^{-j\beta z}$
H_x	$\frac{-j\beta m\pi}{k_c^2 a} A_{mn} \sin \frac{m\pi x}{a} \cos \frac{n\pi y}{b} e^{-j\beta z}$	$\frac{j\omega\epsilon n\pi}{k_c^2 b} B_{mn} \sin \frac{m\pi x}{a} \cos \frac{n\pi y}{b} e^{-j\beta z}$
H_y	$\frac{-j\beta n\pi}{k_c^2 b} A_{mn} \cos \frac{m\pi x}{a} \sin \frac{n\pi y}{b} e^{-j\beta z}$	$\frac{-j\omega\epsilon m\pi}{k_c^2 a} B_{mn} \cos \frac{m\pi x}{a} \sin \frac{n\pi y}{b} e^{-j\beta z}$
Z	$Z_{TE} = \frac{k\eta}{\beta}$	$Z_{TM} = \frac{\beta\eta}{k}$

2.3 ท่อน้ำคลีนแบบวงกลม (Circular Waveguide)

สำหรับท่อน้ำคลีนแบบวงกลมนั้นเราจะพิจารณาที่ภาคตัดขวางของห่อ โดยจะแยกพิจารณาเป็น โหมด TE และ โหมด TM เช่นเดียวกันกับท่อน้ำคลีนแบบสีเหลี่ยม ซึ่งกำหนดให้ค่าคงตัวที่ a คือรัศมีเท่ากับ a โดยกำหนดให้ ϵ , และ μ , มีค่าเท่ากับ 1 เช่นกัน



รูปที่ 2.2 ท่อน้ำคลีนแบบวงกลม

ในการคำนวณเดียวกันกับท่อน้ำคลีนสีเหลี่ยม การได้มาของสนา�แต่ละองค์ประกอบของสนาમไฟฟ้าและสนาમแม่เหล็ก ทั้งในโหมด TE และ โหมด TM นั้น ได้มาจากการพิจารณา H_z และ E_z ตามลำดับ

ในส่วนของท่อน้ำคลื่นวงกลมนั้น การหาสถานะของแต่ละองค์ประกอบสามารถพิจารณาได้ด้วยสมการเดียวกันทั้ง TE โหมด และ TM โหมด คือ

$$E_\rho = \frac{-j}{k_c^2} \left(\beta \frac{\partial E_z}{\partial \rho} + \frac{\omega \mu}{\rho} \frac{\partial H_z}{\partial \phi} \right) \quad (2.22a)$$

$$E_\phi = \frac{-j}{k_c^2} \left(\frac{\beta}{\rho} \frac{\partial E_z}{\partial \phi} - \omega \mu \frac{\partial H_z}{\partial \rho} \right) \quad (2.22b)$$

$$H_\rho = \frac{j}{k_c^2} \left(\frac{\omega \epsilon}{\rho} \frac{\partial E_z}{\partial \phi} - \beta \frac{\partial H_z}{\partial \rho} \right) \quad (2.22c)$$

$$H_\phi = \frac{-j}{k_c^2} \left(\omega \epsilon \frac{\partial E_z}{\partial \rho} + \frac{\beta}{\rho} \frac{\partial H_z}{\partial \phi} \right) \quad (2.22d)$$

โดยที่ $k_c^2 = k^2 + \beta^2$ และในส่วนของ $e^{-j\beta z}$ นั้น β จะพิจารณาเหมือนเดิม

2.3.1 TE Modes

จากข้างต้น เราสามารถเริ่มพิจารณาได้ด้วยการหา H_z มา ก่อน เนื่องจาก $E_z = 0$ แต่ $H_z \neq 0$ ในกรณีที่เป็นโหมด TE โดยหาคำตอบได้จากสมการคลื่น

$$\nabla^2 H_z + k^2 H_z = 0 \quad (2.23)$$

เมื่อ $H_z(\rho, \phi, z) = h_z(\rho, \phi) e^{-j\beta z}$ ทำให้สามารถอธิบายสมการที่ (2.23) ในรูปของทรงกระบอกได้ว่า

$$\left(\frac{\partial^2}{\partial \rho^2} + \frac{1}{\rho} \frac{\partial}{\partial \rho} + \frac{1}{\rho^2} \frac{\partial^2}{\partial \phi^2} + k_c^2 \right) h_z(\rho, \phi) = 0 \quad (2.24)$$

จากนั้นใช้วิธีการแยกตัวแปรจะได้ว่า

$$h_z(\rho, \phi) = R(\rho) P(\phi) \quad (2.25)$$

แทนค่ากลับไปในสมการที่ (2.24) จะได้ว่า

$$\frac{1}{R} \frac{d^2 R}{d\rho^2} + \frac{1}{\rho R} \frac{dR}{d\rho} + \frac{1}{\rho^2 P} \frac{d^2 P}{d\phi^2} + k_c^2 = 0 \quad (2.26)$$

หรือ

$$\frac{\rho^2}{R} \frac{d^2 R}{d\rho^2} + \frac{\rho}{R} \frac{dR}{d\rho} + \rho^2 k_c^2 = -\frac{1}{P} \frac{d^2 P}{d\phi^2} \quad (2.26a)$$

จะเห็นได้ว่าด้านซ้ายของสมการ จะขึ้นอยู่กับค่า ρ เท่านั้นไม่เกี่ยวกับค่า ϕ ส่วนด้านขวาของสมการ จะขึ้นอยู่กับค่า ϕ เพียงอย่างเดียว ซึ่งแต่ละด้านจะต้องเท่ากับตัวคงที่ เราเรียกค่าคงที่นั้นว่า k_ϕ^2 และจะได้ว่า

$$\frac{-1}{P} \frac{d^2 P}{d\phi^2} = k_\phi^2$$

หรือเขียนใหม่ได้เป็น

$$\frac{d^2 P}{d\phi^2} + k_\phi^2 P = 0 \quad (2.27)$$

ดังนี้

$$\rho^2 \frac{d^2 R}{d\rho^2} + \rho \frac{dR}{d\rho} + (\rho^2 k_c^2 - k_\phi^2) R = 0 \quad (2.28)$$

ซึ่งคำตอบทั่วไปของสมการที่ (2.27) คือ

$$P(\phi) = A \sin k_\phi \phi + B \cos k_\phi \phi \quad (2.29)$$

ผลเฉลยของ h_z ต้องเป็นค่าในเทอมของ ϕ (นั่นคือ $h_z(\rho, \phi) = h_z(\rho, \phi \pm 2m\pi)$) และ ต้องเป็นจำนวนเต็มแทนด้วย n ดังนั้น สมการที่ (2.29) จะได้เป็น

$$P(\phi) = A \sin n\phi + B \cos n\phi \quad (2.30)$$

ทำให้ สมการที่ (2.28) กลายเป็น

$$\rho^2 \frac{d^2 R}{d\rho^2} + \rho \frac{dR}{d\rho} + (\rho^2 k_c^2 - n^2) R = 0 \quad (2.31)$$

ซึ่งมีความสอดคล้องกับคำตอบของ Bessel's differential equation ซึ่งให้ผลเฉลยเป็น

$$R(\rho) = CJ_n(k_c \rho) + DY_n(k_c \rho) \quad (2.32)$$

โดยที่ $J_n(x)$ คือ Bessel functions of first kind
 $Y_n(x)$ คือ Bessel functions of second kind

และเนื่องจาก $Y_n(k_c\rho)$ จะมีค่าเข้าสู่ค่าอนันต์ เมื่อ ค่า $\rho = 0$ นั้นคือ ในเทอมนี้จะไม่มีผลต่อสมการ ท่อน้ำค่าน้ำในวงกลม ดังนั้น จะได้ว่า ค่า $D = 0$ ด้วย ทำให้ผลเฉลยของ h_z สามารถเขียนใหม่ได้ว่า

$$h_z(\rho, \phi) = (A \sin n\phi + B \cos n\phi) J_n(k_c \rho) \quad (2.33)$$

ซึ่งค่าคงที่ C ในสมการที่ (2.32) ถูกแทนด้วยค่าคงที่ A และ B จากสมการที่ (2.33)

ต่อไปจะต้องหาค่า k_c โดยการอาศัยเงื่อนไขข้อบ่งบอกว่า $E_{tan} = 0$ บนผนังท่อน้ำค่าน้ำ เมื่อ $E_z = 0$ สมการที่ใช้คือ

$$E_\phi(\rho, \phi) = 0 \quad \text{at } \rho = a \quad (2.34)$$

ทำให้สมการ (2.22b) สามารถหา E_ϕ จาก H_z ได้เป็น

$$E_\phi(\rho, \phi, z) = \frac{j\omega\mu}{k_c} (A \sin n\phi + B \cos n\phi) J'_n(k_c \rho) e^{-j\beta z} \quad (2.35)$$

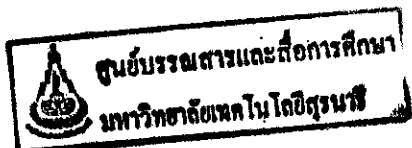
ซึ่งค่า $J'_n(k_c \rho)$ เป็นค่าที่แยกออกจาก J_n สำหรับ E_ϕ ให้ $\rho = a$ นั้นคือจะต้องหา

$$J'_n(k_c a) = 0 \quad (2.36)$$

โดยที่กำหนดให้ p_{nm} เป็นค่ารากของ $J'_n(x)$ นั้นคือ ถ้า $J'_n(p_{nm}) = 0$ แล้ว ค่า p_{nm} ก็คือรากลำดับที่ m ของ J'_n นั้นเอง ดังนั้นค่า k_c มีค่าเป็น

$$k_{c_{nm}} = \frac{p_{nm}}{a} \quad (2.37)$$

ค่า p_{nm} สามารถนำมาคำนวณหาค่าตอบได้โดยการใช้โปรแกรม Mathematica ช่วยในการคำนวณซึ่งแสดงไว้ในตารางที่ 2.2 ซึ่งสามารถนำค่า p_{nm} มาใช้หาค่า propagation constant ของ TE (β_{nm})



$$\beta_{nm} = \sqrt{k^2 - k_c^2} = \sqrt{k^2 - \left(\frac{p'_{nm}}{a}\right)^2} \quad (2.38)$$

และ ค่าความถี่ตัด ($f_{c_{nm}}$)

$$f_{c_{nm}} = \frac{k_c}{2\pi\sqrt{\mu\varepsilon}} = \frac{p'_{nm}}{2\pi a\sqrt{\mu\varepsilon}} \quad (2.39)$$

จะเห็นได้ว่าค่าความถี่ตัดขึ้นกับค่า p'_{nm} โดยตรง นั่นคือ เมื่อพิจารณาค่า p'_{nm} ในตารางค่าที่น้อยที่สุดก็จะหมายถึงค่าความถี่ตัดที่ต่ำที่สุดด้วย หรือเรียกอีกอย่างว่า โหมดโอดิมิแวนท์ซึ่งสำหรับโหมดโอดิมิแวนท์ของ TE₁₁ คือโหมด TE₁₁

จากนั้นจะสามารถหาสถานะในองค์ประกอบอื่นๆ ได้จากสมการที่ (2.22a)-(2.22d) จะได้ว่า

$$E_\rho = \frac{-j\omega\mu n}{k_c^2\rho} (A \cos n\phi - B \sin n\phi) J_n(k_c\rho) e^{-j\beta z} \quad (2.40a)$$

$$E_\phi = \frac{j\omega\mu}{k_c} (A \sin n\phi + B \cos n\phi) J'_n(k_c\rho) e^{-j\beta z} \quad (2.40b)$$

$$H_\rho = \frac{-j\beta}{k_c} (A \sin n\phi + B \cos n\phi) J'_n(k_c\rho) e^{-j\beta z} \quad (2.40c)$$

$$H_\phi = \frac{-j\beta n}{k_c^2\rho} (A \cos n\phi - B \sin n\phi) J_n(k_c\rho) e^{-j\beta z} \quad (2.40d)$$

จะเห็นว่าค่าคงที่ A และ B จะควบคุมขนาดของพานี้ $\sin n\phi$ และ $\cos n\phi$ ซึ่งทั้งสองพจน์อิสระต่อ กัน เพราะว่า ในแกนแนวความกว้างนั้นจะสมมาตรกันทำให้ทั้งสองพจน์ถูกต้องทั้งคู่ นั่นคือในการพิจารณาเราสามารถกำหนดให้ค่าคงที่ตัวใดตัวหนึ่งเท่ากับศูนย์ได้ เพื่อให้ง่ายในการวิเคราะห์สมการ ดังนั้นจะเลือกให้ B = 0 สำหรับโหมด TE₁₁ และพิจารณาร่วมกับสมการที่ (2.40a) - (2.40d) จะได้ว่า

$$H_z = A \sin \phi J_1(k_c\rho) e^{-j\beta z} \quad (2.41a)$$

$$E_\rho = \frac{-j\omega\mu}{k_c^2\rho} A \cos \phi J_1(k_c\rho) e^{-j\beta z} \quad (2.41b)$$

$$E_\phi = \frac{j\omega\mu}{k_c} A \sin \phi J'_1(k_c\rho) e^{-j\beta z} \quad (2.41c)$$

$$H_\rho = \frac{-j\beta}{k_c} A \sin \phi J'_1(k_c \rho) e^{-j\beta z} \quad (2.41d)$$

$$H_\phi = \frac{-j\beta}{k_c^2 \rho} A \cos \phi J_1(k_c \rho) e^{-j\beta z} \quad (2.41e)$$

$$E_z = 0 \quad (2.41f)$$

ตารางที่ 2.2 แสดงค่ารากของ Bessel Function ลำดับที่ n สำหรับโหมด TE: $J'_n(p_{nm}) = 0$, $p_{nm} \neq 0$

n	0	1	2	3	4	5	6	7
m	3.832	1.841	3.054	4.201	5.317	6.416	7.501	8.578
1	7.016	5.331	6.706	8.015	9.282	10.520	11.735	12.932
2	10.173	8.536	9.969	11.346	12.682	13.987	15.268	16.529
3	13.324	11.706	13.170	14.586	15.964	17.313	18.637	19.942

2.3.2 TM Modes

เนื่องจากในโหมด TM นั้น $H_z = 0$ แต่ $E_z \neq 0$ ดังนั้นในการหาคำตอบเราต้องเริ่มพิจารณาจากค่า E_z เพื่อใช้ในการหาสนามในองค์ประกอบอื่นต่อไป

ขั้นตอนในการวิเคราะห์สมการดำเนินไปในลักษณะเดียวกับการวิเคราะห์สมการของโหมด TE แต่มีการเปลี่ยนพารามิเตอร์บางตัว เริ่มจาก

$$\left(\frac{\partial^2}{\partial \rho^2} + \frac{1}{\rho} \frac{\partial}{\partial \rho} + \frac{1}{\rho^2} \frac{\partial^2}{\partial \phi^2} + k_c^2 \right) e_z = 0 \quad (2.42)$$

โดยที่ $E_z(\rho, \phi, z) = e_z(\rho, \phi) e^{-j\beta z}$ และ $k_c^2 = k^2 - \beta^2$ ทำให้สามารถหา e_z ในลักษณะที่คล้ายกับสมการที่ (2.33) จะได้ว่า

$$e_z(\rho, \phi) = (A \sin n\phi + B \cos n\phi) J_n(k_c \rho) \quad (2.43)$$

ซึ่งเราสามารถใช้เงื่อนไขขอบเขตของ E_z ได้โดยตรงคือ

$$E_z(\rho, \phi) = 0 \quad \text{at } \rho = a \quad (2.44)$$

และพิจารณารวมกับ

$$J_n(k_c a) = 0 \quad (2.45)$$

หรือ

$$k_c = p_{nm}/a \quad (2.46)$$

โดยที่กำหนดให้ p_{nm} เป็นค่ารากของ $J_n(x)$ นั่นคือ เมื่อ $J_n(p_{nm}) = 0$ แล้ว ค่า p_{nm} ก็คือรากลำดับที่ m ของ J_n นั่นเอง ซึ่งได้แสดงค่า p_{nm} บางส่วนไว้ในตารางทำให้สามารถหาค่าคงที่การแผ่กระจายคลื่นของ TM (β_{nm}) ได้ว่า

$$\beta_{nm} = \sqrt{k^2 - k_c^2} = \sqrt{k^2 - (p_{nm}/a)^2} \quad (2.47)$$

และหา ความถี่ตัด ($f_{c_{nm}}$) ได้เป็น

$$f_{c_{nm}} = \frac{k_c}{2\pi\sqrt{\mu\varepsilon}} = \frac{p_{nm}}{2\pi a\sqrt{\mu\varepsilon}} \quad (2.48)$$

จะเห็นว่า โหมดแรกสำหรับ โหมด TM คือ TM₀₁ ด้วยค่า $p_{nm} = 2.405$ ซึ่งเมื่อเทียบกับค่า $p_{nm} = 1.841$ ของโหมด TE ซึ่งน้อยกว่าและเป็นค่าที่น้อยที่สุด ดังนั้น dominant mode สำหรับท่อน้ำคือ TM₀₁ จากนั้นสามารถหาสนามในองค์ประกอบอื่นๆ ได้จากสมการที่ (2.22a) - (2.22d) จะได้ว่า

$$E_\rho = \frac{-j\beta}{k_c} (A \sin n\phi + B \cos n\phi) J'_n(k_c \rho) e^{-j\beta z} \quad (2.49)$$

$$E_\phi = \frac{-j\beta n}{k_c \rho} (A \cos n\phi - B \sin n\phi) J_n(k_c \rho) e^{-j\beta z} \quad (2.50)$$

$$H_\rho = \frac{j\omega\varepsilon n}{k_c \rho} (A \cos n\phi - B \sin n\phi) J_n(k_c \rho) e^{-j\beta z} \quad (2.51)$$

$$H_\phi = \frac{-j\omega\varepsilon}{k_c} (A \sin n\phi + B \cos n\phi) J'_n(k_c \rho) e^{-j\beta z} \quad (2.52)$$

ตารางที่ 2.3 แสดงค่ารากของ Bessel Function ลำดับที่ n สำหรับโหมด TM: $J_n(p_{nl}) = 0, p_{nl} \neq 0$

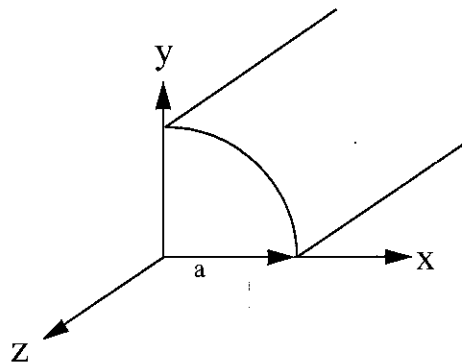
m	n							
	0	1	2	3	4	5	6	7
1	2.405	3.832	5.136	6.380	7.588	8.771	9.936	11.086
2	5.520	7.016	8.417	9.761	11.065	12.339	13.589	14.821
3	8.654	10.173	11.620	13.015	14.372	15.700	17.004	18.288
4	11.792	13.323	14.796	16.223	17.616	18.980	20.321	21.642

ตารางที่ 2.4 สมการที่เกี่ยวกับท่อน้ำคลื่นวงก吟

Quantity	TE _{nm} Mode	TM _{nm} Mode
k	$\omega\sqrt{\mu\epsilon}$	$\omega\sqrt{\mu\epsilon}$
k_c	$\frac{p'_{nm}}{a}$	$\frac{p_{nm}}{a}$
β	$\sqrt{k^2 - k_c^2}$	$\sqrt{k^2 - k_c^2}$
λ_c	$\frac{2\pi}{k_c}$	$\frac{2\pi}{k_c}$
λ_g	$\frac{2\pi}{\beta}$	$\frac{2\pi}{\beta}$
p	$\frac{\omega}{\beta}$	$\frac{\omega}{\beta}$
α_d	$\frac{k^2 \tan \delta}{2\beta}$	$\frac{k^2 \tan \delta}{2\beta}$
E_z	0	$(A \sin n\phi + B \cos n\phi) J_n(k_c \rho) e^{-j\beta z}$
H_z	$(A \sin n\phi + B \cos n\phi) J_n(k_c \rho) e^{-j\beta z}$	0
E_ρ	$\frac{-j\omega\mu n}{k_c^2 \rho} (A \cos n\phi - B \sin n\phi) J_n(k_c \rho) e^{-j\beta z}$	$\frac{-j\beta}{k_c} (A \sin n\phi + B \cos n\phi) J'_n(k_c \rho) e^{-j\beta z}$
E_ϕ	$\frac{j\omega\mu}{k_c} (A \sin n\phi + B \cos n\phi) J'_n(k_c \rho) e^{-j\beta z}$	$\frac{-j\beta n}{k_c^2 \rho} (A \cos n\phi - B \sin n\phi) J_n(k_c \rho) e^{-j\beta z}$
H_ρ	$\frac{-j\beta}{k_c} (A \sin n\phi + B \cos n\phi) J'_n(k_c \rho) e^{-j\beta z}$	$\frac{j\omega\epsilon n}{k_c^2 \rho} (A \cos n\phi - B \sin n\phi) J_n(k_c \rho) e^{-j\beta z}$
H_ϕ	$\frac{-j\beta n}{k_c^2 \rho} (A \cos n\phi - B \sin n\phi) J_n(k_c \rho) e^{-j\beta z}$	$\frac{-j\omega\epsilon}{k_c} (A \sin n\phi + B \cos n\phi) J'_n(k_c \rho) e^{-j\beta z}$
Z	$Z_{TE} = \frac{k\eta}{\beta}$	$Z_{TM} = \frac{\beta\eta}{k}$

2.4 ท่อนำคลื่นแบบเซกเตอร์ของวงกลม (Circular Sectoral Waveguide)

สำหรับท่อนำคลื่นชนิดนี้เป็นท่อนำคลื่นที่พัฒนาขึ้นมาจากท่อนำคลื่นวงกลม ซึ่งลักษณะการวิเคราะห์สมการจะดำเนินไปในลักษณะเดียวกันกับท่อนำคลื่นวงกลมเกือบทุกประการรวมไปถึงพารามิเตอร์ที่ใช้ด้วย โดยมีพารามิเตอร์บางตัวที่เพิ่มเข้ามาในสมการสนามของแต่ละองค์ประกอบนับ เพื่อเป็นตัวกำหนดคุณในของการพิจารณาท่อนำคลื่น และทิศทางเดินของคลื่นก็ยังคงเป็นทิศทาง $+Z$ เหมือนเดิม โดยรัศมีของท่อนำคลื่นเท่ากับ a เช่นเดิม ดังรูปที่ 2.3



รูปที่ 2.3 ท่อนำคลื่นแบบเซกเตอร์ของวงกลม

2.4.1 TE modes

$$E_\rho(\rho, \phi, z) = A_{mn} \frac{m}{\epsilon\rho} J_v(k_\rho \rho) \sin(m\phi) e^{-jk_z z} \quad (2.53)$$

$$E_\phi(\rho, \phi, z) = A_{mn} \frac{k_\rho}{\epsilon} J'_v(k_\rho \rho) \cos(m\phi) e^{-jk_z z} \quad (2.54)$$

$$E_z(\rho, \phi, z) = 0 \quad (2.54)$$

$$H_\rho(\rho, \phi, z) = -A_{mn} \frac{k_\rho k_z}{\omega \mu \epsilon} J'_v(k_\rho \rho) \cos(m\phi) e^{-jk_z z} \quad (2.56)$$

$$H_\phi(\rho, \phi, z) = A_{mn} \frac{mk_z}{\omega \mu \epsilon \rho} J_v(k_\rho \rho) \sin(m\phi) e^{-jk_z z} \quad (2.57)$$

$$H_z(\rho, \phi, z) = -jA_{mn} \frac{k_\rho^2}{\omega \mu \epsilon} J_v(k_\rho \rho) \cos(m\phi) e^{-jk_z z} \quad (2.58)$$

2.4.2 TM modes

สมการของค์ประกอบของสนามแม่เหล็กไฟฟ้าภายในท่อนำคลื่นแบบเชกเตอร์ของวงกลมกรณีโหนด TM ได้แก่

$$E_\phi(\rho, \phi, z) = -B_{mn} \frac{mk_z}{\omega\mu\epsilon\rho} J_v(k_\rho\rho) \cos(m\phi) e^{-jk_z z} \quad (2.59)$$

$$H_\rho(\rho, \phi, z) = B_{mn} \frac{m}{\mu\rho} J_v(k_\rho\rho) \cos(m\phi) e^{-jk_z z} \quad (2.60)$$

$$E_z(\rho, \phi, z) = -jB_{mn} \frac{k_\rho^2}{\omega\mu\epsilon} J_v(k_\rho\rho) \sin(m\phi) e^{-jk_z z} \quad (2.61)$$

$$H_\phi(\rho, \phi, z) = -B_{mn} \frac{k_\rho}{\mu} J'_v(k_\rho\rho) \sin(m\phi) e^{-jk_z z} \quad (2.62)$$

$$E_\rho(\rho, \phi, z) = -B_{mn} \frac{k_\rho k_z}{\omega\mu\epsilon} J'_v(k_\rho\rho) \sin(m\phi) e^{-jk_z z} \quad (2.63)$$

$$H_z(\rho, \phi, z) = 0 \quad (2.64)$$

จะเห็นได้ว่า จากรูปการของโหนด TE และ โหนด TM ของท่อนำคลื่นแบบเชกเตอร์ของวงกลมจะมี ความคล้ายคลึงกับรูปการของสนามของโหนด TE และ โหนด TM ของท่อนำคลื่นของวงกลม

โดยที่ A_{mn} และ B_{mn} เป็นขนาดของสนามในโหนด TE และ โหนด TM ตามลำดับ และพารามิเตอร์ m และ n เป็นพารามิเตอร์ที่บ่งบอกถึงโหนดใดๆ ที่เราสนใจ ส่วนพารามิเตอร์ v เป็นพารามิเตอร์ตัวใหม่ที่เพิ่มเข้ามาจะเป็นตัวที่กำหนดคุณสมบัติของเชกเตอร์ ซึ่งเป็นไปตามสมการที่ (2.65)

$$v = m\pi/\phi_0 \quad (2.65)$$

โดยที่ ϕ_0 คือ มุมของเชกเตอร์ที่กำหนด

m คือ เลขโหนด สำหรับโหนด TE นั้น $m = 0, 1, 2, 3$

สำหรับโหนด TM นั้น $m = 1, 2, 3, 4$

ซึ่งค่า v ดังกล่าวจะใช้เป็นลำดับของ Bessel ในการหารากของ Bessel ต่อไป ในที่สุดสามารถใช้ตารางแสดงค่า Bessel เดียวกันกับตารางที่ 2.2 และ 2.3 ของโหนด TE และ โหนด TM ซึ่งได้จากการใช้โปรแกรม Mathematica มาช่วยในการคำนวณ ตามลำดับ

จากนั้นจะสามารถหาค่า k_ρ ได้จาก

$$k = \omega / \sqrt{\mu \epsilon}$$

$$k_z^2 = k^2 - k_\rho^2$$

$$k_\rho = \begin{cases} \frac{x'_{vn}}{a}, & TE_{mn} \text{ modes} \\ \frac{x_{vn}}{a}, & TM_{mn} \text{ modes} \end{cases} \quad (2.66)$$

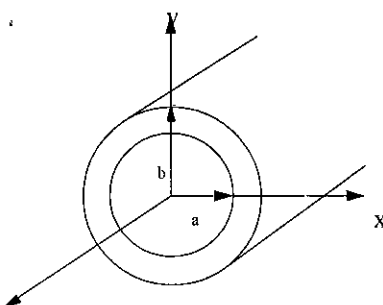
และเมื่อพิจารณาค่าความถี่ตัดจะได้

$$f_c = \begin{cases} \frac{x'_{vn}}{2\pi a \sqrt{\mu \epsilon}}, & TE_{mn} \text{ modes} \\ \frac{x_{vn}}{2\pi a \sqrt{\mu \epsilon}}, & TM_{mn} \text{ modes} \end{cases} \quad (2.67)$$

โดยที่ x'_{mn} และ x_{mn} เป็นรากของ Bessel Function โหมด TE และโหมด TM ตามลำดับ

2.5 ท่อนำคลื่นแบบทรงกระบอกแคนร่วม (Coaxial Cylinders Waveguide)

สำหรับท่อนำคลื่นแบบทรงกระบอกนี้ ในการคำนวณสมการเพื่อไม่ให้เกิดความสับสน กับท่อนำคลื่นชนิดอื่นจึงได้มีการกำหนดพารามิเตอร์ที่ใช้ในการปังซี่โหมดเป็น n และ l ตามลำดับ และกำหนดให้คลื่นยังคงเดินในทิศทาง $+Z$ เช่นเดิม โดยที่รัศมีด้านในเท่ากับ a และรัศมีด้านนอกเท่ากับ b ดังรูปที่ 2.4



รูปที่ 2.4 ท่อนำคลื่นแบบทรงกระบอกแคนร่วม

2.5.1 TM modes

สำหรับโหมด TM นั้น เริ่มวิเคราะห์สมการโดยการพิจารณาสนาม E_z ก่อนเช่นเดิมเพื่อใช้เป็นสนามเริ่มต้นในการหาสนามในองค์ประกอบอื่นต่อไป จะได้ว่า จากสมการ

$$\frac{1}{\rho} \frac{\partial}{\partial \rho} \left(\rho \frac{\partial E_z}{\partial \rho} \right) + \frac{1}{\rho^2} \frac{\partial^2 E_z}{\partial \phi^2} + k_{c,TM}^2 E_z = 0 \quad (2.68)$$

หากนิการในลักษณะเดียวกับท่อน้ำคลื่นวงกลมโดยการแยกสมการ ออกเป็นแต่ละองค์ประกอบ จะได้

$$E_z(\rho, \phi) = (A' \cos n\phi + B' \sin n\phi) [C' J_n(k_{c,TM} \rho) + D' N_n(k_{c,TM} \rho)] \quad (2.69)$$

จากสมการถ้าพิจารณาที่ $\phi = 0$ จะเห็นได้ว่ามีเฉพาะฟังชัน \sin เท่านั้นที่เป็นจริงโดยค่าคงที่ $B' = 0$ คุณกันของค่าคงที่ A' กับ C' และ A' กับ D' จะกล้ายเป็นค่าคงที่ C และ D ตามลำดับ จะได้ว่า

$$E_z(\rho, \phi) = [C J_n(k_{c,TM} \rho) + D N_n(k_{c,TM} \rho)] \cos n\phi \quad (2.70)$$

หากนั้นพิจารณาเงื่อนไขขอบเขตของสนาม E_z ต้องเท่ากับ 0 ณ เส้นสัมผัสท่อน้ำคลื่นที่รัศมีเท่ากับ a และ b จะได้ว่า

$$E_z(a, \phi) = [C J_n(k_{c,TM} a) + D N_n(k_{c,TM} a)] \cos n\phi = 0 \quad (2.71)$$

$$E_z(b, \phi) = [C J_n(k_{c,TM} b) + D N_n(k_{c,TM} b)] \cos n\phi = 0 \quad (2.72)$$

และเนื่องจากเงื่อนไขคักล่าวจะต้องเป็นจริงทุกๆ ค่า ϕ นั่นคือ สัมประสิทธิ์ของ $\cos n\phi$ จะต้องเป็น 0

$$C J_n(k_{c,TM} a) + D N_n(k_{c,TM} a) = 0 \quad (2.73)$$

$$C J_n(k_{c,TM} b) + D N_n(k_{c,TM} b) = 0 \quad (2.74)$$

จะเห็นได้ว่า ถ้าค่า C และ D เท่ากับ 0 แล้วสมการที่ (2.71) และ (2.72) จะไม่เป็นจริงทำให้ไม่สามารถหา E_z ได้ จะนั้นถ้าค่า C และ D ไม่เป็น 0 แล้ว เราสามารถใช้เมตริกษา determinant ของสัมประสิทธิ์ที่ได้

$$\begin{vmatrix} J_n(k_{c,TM}a) & N_n(k_{c,TM}a) \\ J_n(k_{c,TM}b) & N_n(k_{c,TM}b) \end{vmatrix} = 0 \quad (2.75)$$

จะได้ว่า

$$J_n(k_{c,TM}a)N_n(k_{c,TM}b) - J_n(k_{c,TM}b)N_n(k_{c,TM}a) = 0 \quad (2.76)$$

เราเรียกสมการ (2.76) ว่า เงื่อนไขของเขต Bessel-Neumann โดยที่

$J_n(x)$ คือ Bessel functions of first kind

$N_n(x) = Y_n(x)$ คือ Bessel functions of second kind

และ x คือรากของ Bessel-Neumann ซึ่งในที่นี้จะได้ว่า

$$x = k_{c,TM}a \quad (2.77)$$

$$\text{หรือ } k_{c,TM} = \frac{x}{a} \quad (2.78)$$

แทนสมการที่ (2.76) ลงในสมการที่ (2.75) จะได้สมการ Bessel-Neumann ที่สามารถอ่านค่าจากตารางที่ 2.3 มาแทนได้ง่ายขึ้น

$$J_n\left(\frac{b}{a}x\right)N_n\left(\frac{b}{a}x\right) - J_n\left(\frac{b}{a}x\right)N_n(x) = 0 \quad (2.79)$$

และสามารถหาค่า ความถี่ตัด ($k_{c,TM_{nl}}$) ของโหมด TM ได้ว่า

$$k_{c,TM_{nl}} = \frac{x_{nl}}{a} = \frac{\frac{\text{table mode value}}{\left(\frac{b}{a}-1\right)}}{a} = \frac{\text{table mode value}}{b-a} \quad (2.80)$$

ซึ่งสามารถหาค่า C และ D ได้จาก

$$D = -\frac{J_n(k_{c,TM} b)}{N_n(k_{c,TM} b)} C \quad (2.81)$$

สุดท้ายแล้วเราสามารถหาผลเฉลยของ $E_z(\rho, \phi)$ โดยแทนตัวแปรต่างๆ ที่หาได้ลงในสมการที่ (2.69) จะได้ว่า

$$E_z(\rho, \phi) = C \left[J_n(k_{c,TM} \rho) - \frac{J_n(k_{c,TM} b)}{N_n(k_{c,TM} b)} N_n(k_{c,TM} \rho) \right] \cos n\phi \quad (2.82)$$

โดยที่สามารถหาค่าคงที่การกระจาย (β_{TM}) ได้จาก

$$\gamma_{TM} = \sqrt{k_{c,TM}^2 - k^2} = j\sqrt{\omega^2 \mu \epsilon - k_{c,TM}^2} = j\beta_{TM} \quad (2.83)$$

ทำให้สามารถหาสนามในองค์ประกอบอื่นๆ ได้ดังนี้

$$E_z(\rho, \phi, z) = C \left[J_n(k_{c,TM} \rho) - \frac{J_n(k_{c,TM} b)}{N_n(k_{c,TM} b)} N_n(k_{c,TM} \rho) \right] \cos n\phi e^{-j\beta_{TM} z} \quad (2.84a)$$

$$E_\rho(\rho, \phi, z) = -j \frac{\beta_{TM} C}{k_{c,TM}} \left[J'_n(k_{c,TM} \rho) - \frac{J_n(k_{c,TM} b)}{N_n(k_{c,TM} b)} N'_n(k_{c,TM} \rho) \right] \cos n\phi e^{-j\beta_{TM} z} \quad (2.84b)$$

$$E_\phi(\rho, \phi, z) = j \frac{\beta_{TM} n C}{k_{c,TM} \rho} \left[J_n(k_{c,TM} \rho) - \frac{J_n(k_{c,TM} b)}{N_n(k_{c,TM} b)} N_n(k_{c,TM} \rho) \right] \sin n\phi e^{-j\beta_{TM} z} \quad (2.84c)$$

$$H_\rho(\rho, \phi, z) = -j \frac{\omega \epsilon n C}{k_{c,TM} \rho} \left[J'_n(k_{c,TM} \rho) - \frac{J_n(k_{c,TM} b)}{N_n(k_{c,TM} b)} N'_n(k_{c,TM} \rho) \right] \sin n\phi e^{-j\beta_{TM} z} \quad (2.84d)$$

$$H_\phi(\rho, \phi, z) = -j \frac{\omega \epsilon C}{k_{c,TM}} \left[J'_n(k_{c,TM} \rho) - \frac{J_n(k_{c,TM} b)}{N_n(k_{c,TM} b)} N'_n(k_{c,TM} \rho) \right] \cos n\phi e^{-j\beta_{TM} z} \quad (2.84e)$$

ตารางที่ 2.5 แสดงค่ารากของ Bessel Function ลำดับที่ n สำหรับโหมด TM: ค่าในตารางคือ $(b/a - 1) x_{mn}$

b	mn							
a	01	11	21	31	02	12	22	32
1.0	3.142	3.142	3.142	3.142	6.283	6.283	6.283	6.283
1.1	3.141	3.143	3.147	3.154	6.283	6.284	6.286	6.289
1.2	3.140	3.146	3.161	3.187	6.282	6.285	6.293	6.306
1.3	3.139	3.150	3.182	3.236	6.282	6.287	6.304	6.331
1.4	3.137	3.155	3.208	3.294	2.281	2.290	2.317	6.362
1.5	3.135	3.161	3.237	3.36	6.280	6.293	6.332	6.387
1.6	3.133	3.168	3.27	3.43	6.279	6.296	6.349	6.437
1.8	3.128	3.182	3.36	3.6	6.276	6.304	6.387	6.523
2.0	3.123	3.197	3.4	3.7	6.273	6.312	6.43	6.62
2.5	3.110	3.235			6.266	6.335		6.9
3.0	3.097	3.271			6.258	6.357		
3.5	3.085	3.305			6.243	6.403		

ตารางที่ 2.5(ต่อ) แสดงค่ารากของ Bessel Function ลำดับที่ n สำหรับโหมด TM: ค่าในตารางคือ $(b/a - 1) x_{mn}$

b	mn							
a	03	13	23	33	04	14	24	34
1.0	9.425	9.425	9.425	9.425	12.566	12.566	12.566	12.566
1.1	9.425	9.425	9.427	9.429	12.556	12.567	12.568	12.569
1.2	9.424	9.426	9.431	9.440	12.556	12.567	12.571	12.578
1.3	9.424	9.427	9.438	9.457	12.556	12.568	12.577	12.590
1.4	9.423	9.429	9.447	9.478	12.565	12.570	12.583	12.606
1.5	9.423	9.431	9.458	9.502	12.565	12.571	12.591	12.624
1.6	9.422	9.434	9.469	9.528	12.564	12.573	12.600	12.644
1.8	9.420	9.439	9.495	9.587	12.563	12.577	12.619	12.689
2.0	9.418	9.444	9.523	9.652	12.561	12.581	12.640	12.738
2.5	9.413	9.460		9.83	12.558	12.593		12.874
3.0	9.408	9.476		10.0	12.553	12.605		13.02
3.5	9.402	9.493		10.2	12.549	12.619		13.2

2.5.2 TE modes

กรณีของโหมด TE วิธีการหาสมการของสนามแม่เหล็กไฟฟ้าภายในไปในลักษณะเดียวกับโหมด TM ซึ่งค่า $k_{c,TE}$ จะขึ้นอยู่กับเงื่อนไขขอบเขตของ Bessel-Neumann จากสมการ

$$J'_n(k_{c,TE}a)N'_n(k_{c,TE}b) - J'_n(k_{c,TE}b)N'_n(k_{c,TE}a) = 0 \quad (2.85)$$

เพื่อให้สามารถอ่านค่าจากตารางที่ 2.4 ได้ง่ายขึ้นจะได้ว่า

$$x' = k_{c,TE}a \quad (2.86)$$

นั่นคือ $k_{c,TE} = x'/a$ ทำให้สมการที่ (72) จะสามารถเขียนได้ใหม่ว่า

$$J'_n(x')N'_n\left(\frac{b}{a}x'\right) - J'_n\left(\frac{b}{a}x'\right)N'_n(x') = 0 \quad (2.87)$$

จากสมการที่ (2.87) สามารถนำไปคำนวณหารากของสมการได้ โดยที่สำหรับโหมด TE นั้น ค่ารากของสมการที่ (2.87) คือ x' ซึ่งได้แสดงไว้ในตารางที่ 2.6 โดยที่ $n = 0, 1, 2, 3, \dots$ และ $l = 1, 2, 3, 4, \dots$
จากนั้นจะสามารถคำนวณหาค่า $k_{c,TE}$ ได้จากสมการ

$$k_{c,TE_n} = \frac{\text{table value}}{\left(\frac{b}{a}-1\right)a} = \frac{\text{table value}}{b-a} \quad (2.88)$$

เมื่อพิจารณา ค่าคงที่การแผ่กระจายคลื่น (β_{TE}) สามารถหาได้จาก

$$\gamma_{TE} = \sqrt{k_{c,TE}^2 - k^2} = j\sqrt{k^2 - k_{c,TE}^2} = j\sqrt{\omega^2\mu\varepsilon - k_{c,TE}^2} = j\beta_{TE} \quad (2.89)$$

และสุดท้ายจะสามารถหาสนามในทุกองค์ประกอบได้ดังนี้

$$H_z(\rho, \phi, z) = C \left[J_n(k_{c,TE}\rho) - \frac{J'_n(k_{c,TE}b)}{N'_n(k_{c,TE}b)} N_n(k_{c,TE}\rho) \right] \cos n\phi e^{-j\beta_{TE}z} \quad (2.90a)$$

$$E_\rho(\rho, \phi, z) = j \frac{\omega \mu n C}{\rho k_{c,TE}^2} \left[J_n(k_{c,TE}\rho) - \frac{J'_n(k_{c,TE}b)}{N'_n(k_{c,TE}b)} N_n(k_{c,TE}\rho) \right] \sin n\phi e^{-j\beta_{TM}z} \quad (2.90b)$$

$$E_\phi(\rho, \phi, z) = -j \frac{\omega \mu C}{k_{c,TE}} \left[J'_n(k_{c,TE}\rho) - \frac{J'_n(k_{c,TE}b)}{N'_n(k_{c,TE}b)} N'_n(k_{c,TE}\rho) \right] \cos n\phi e^{-j\beta_{TE}z} \quad (2.90c)$$

$$H_\rho(\rho, \phi, z) = -j \frac{\beta_{TE} C}{k_{c,TE}} \left[J'_n(k_{c,TE}\rho) - \frac{J'_n(k_{c,TE}b)}{N'_n(k_{c,TE}b)} N'_n(k_{c,TE}\rho) \right] \cos n\phi e^{-j\beta_{TE}z} \quad (2.90d)$$

$$H_\phi(\rho, \phi, z) = j \frac{\beta_{TE} C}{\rho k_{c,TE}^2} \left[J_n(k_{c,TE}\rho) - \frac{J'_n(k_{c,TE}b)}{N'_n(k_{c,TE}b)} N_n(k_{c,TE}\rho) \right] \sin n\phi e^{-j\beta_{TE}z} \quad (2.90e)$$

$$E_z(\rho, \phi, z) = 0 \quad (2.90f)$$

ตารางที่ 2.6 แสดงค่ารากของ Bessel Function ลำดับที่ m สำหรับโหมด TE: ค่าในตารางคือ $(b/a - 1)x_{nl}$

b	mn							
a	01	02	03	04	11	12	13	14
1.001	3.14159	6.28318	9.42479	12.5663	3.14159	6.28319	9.42479	12.5663
1.1	3.14268	6.28372	9.42515	12.5666	0.0952739	3.14413	6.28445	9.42564
1.2	3.14555	6.28517	9.4261	12.5673	0.182066	3.15089	6.28782	9.42787
1.3	3.14976	6.28731	9.42753	12.5684	0.261595	3.16092	6.29284	9.43121
1.4	3.15497	6.28996	9.42932	12.5698	0.334829	3.17354	6.29911	9.43539
1.5	3.16094	6.29306	9.43139	12.5714	0.402546	3.18825	6.30643	9.44026
1.6	3.16746	6.29649	9.43372	12.5731	0.465384	3.20468	6.31459	9.44567
1.8	3.18160	6.30407	9.43882	12.5769	0.578451	3.24156	6.33289	9.45785
2.0	3.19658	6.31235	9.44447	12.5812	0.677336	3.28247	6.35321	9.47134
2.5	3.23471	6.33464	9.45987	12.5929	0.877069	3.39546	6.40995	9.50885
3.0	3.27123	6.35768	9.46718	12.6054	1.02724	3.51553	6.47222	9.54988
3.5	3.30494	6.38052	9.49274	12.6183	1.14279	3.63616	6.53804	9.5932
4.0	3.33563	6.40269	9.50922	12.6312	1.2338	3.75334	6.60624	9.63822

ตารางที่ 2.6(ต่อ) แสดงค่ารากของ Bessel Function ลำดับที่ m สำหรับโหมด TE: ค่าในตารางคือ $(b/a - 1)x_{nl}$

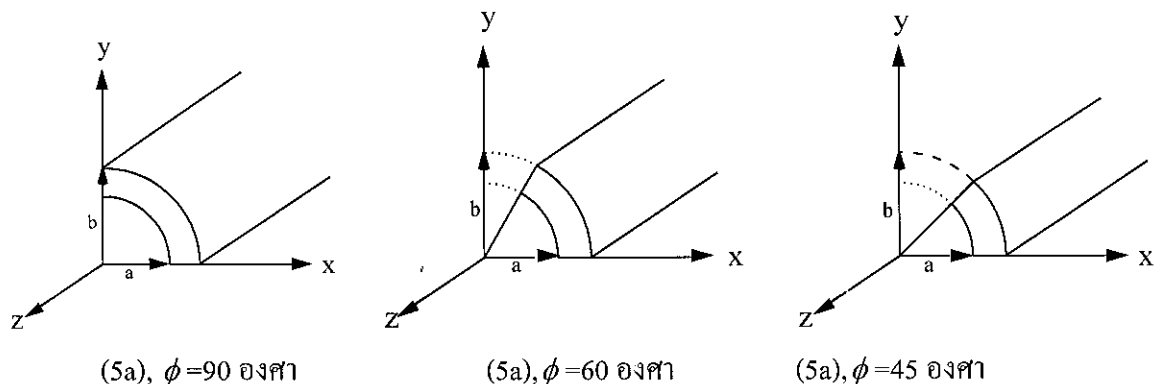
b	mn							
a	21	22	23	24	31	32	33	34
1.001	3.14159	6.28319	9.42479	12.5663	3.14159	6.28319	9.42479	12.5663
1.1	0.190547	3.14847	6.28662	9.42708	0.285819	3.1557	6.29023	9.4295
1.2	0.364111	3.16685	6.29579	9.43318	0.546119	3.19328	6.30904	9.44202
1.3	0.523068	3.19418	6.30939	9.44223	0.784295	3.24891	6.33689	9.46058

ตารางที่ 2.6(ต่อ) แสดงค่ารากของ Bessel Function ลำดับที่ m สำหรับโหมด TE: ค่าในตารางที่อยู่ $(b/a - 1)x_m$

$\frac{b}{a}$	mn							
	21	22	23	24	31	32	33	34
1.4	0.669236	3.22867	6.32648	9.45361	1.0028	3.31876	6.37183	9.48389
1.5	0.804033	3.26904	6.3464	9.46684	1.20342	3.40004	6.41252	9.51099
1.6	0.928581	3.31431	6.36864	9.4816	1.3875	3.49077	6.45786	9.54119
1.8	1.15044	3.4167	6.41873	9.51474	1.71027	3.69458	6.55984	9.60892
2.0	1.3406	3.53129	6.47471	9.55158	1.97888	3.92005	6.67381	9.68421
2.5	1.70544	3.8496	6.63358	9.65499	2.4649	4.52117	6.99964	9.89616
3.0	1.95499	4.18021	6.81335	9.77013	2.77606	5.08438	7.37439	10.1353
3.5	2.12986	4.49211	7.00958	9.89483	2.98933	5.54626	7.78188	10.4003

2.6 ท่อน้ำคัลลีนแบบเชกเตอร์ทรงกระบอกแคนร่วม (Concentric Sectoral Cylindrical Waveguide)

สำหรับการหาค่าตอบสนองของท่อน้ำคัลลีนแบบเชกเตอร์ทรงกระบอกแคนร่วมจะมีพื้นฐานการคำนวณเช่นเดียวกับท่อน้ำคัลลีนแบบทรงกระบอกแคนร่วม โดยการแบ่งเชกเตอร์ของท่อน้ำคัลลีนนั้นถูกความคุณด้วยพารามิเตอร์ ϕ ซึ่งลักษณะการวิเคราะห์สมการจะดำเนินไปในลักษณะเดียวกันกับท่อน้ำคัลลีนแบบทรงกระบอกแคนร่วมเกือบทุกประการรวมไปถึงพารามิเตอร์ที่ใช้ด้วย โดยมีพารามิเตอร์บางตัวที่เพิ่มเข้ามาในสมการสนามของแต่ละองค์ประกอบ เพื่อเป็นตัวกำหนดมุมในของการพิจารณาท่อน้ำคัลลีน และทิศทางเดินของคลื่นกึ่งคงเป็นทิศทาง $+Z$ เหมือนเดิม ดังรูปที่ 5



รูปที่ 2.5 แสดงท่อน้ำคัลลีนแบบเชกเตอร์ทรงกระบอกแคนร่วม ที่ มุม เท่ากับ 90 องศา 60 องศา และ 45 องศา

TE modes

ใช้วิธีการวิเคราะห์ในลักษณะเดียวกับท่อน้ำคัลลีนทรงกระบอกแคนร่วม ซึ่งจะได้สมการสนามแม่เหล็กไฟฟ้าในแต่ละองค์ประกอบดังนี้

$$H_z = \frac{k_c^2 B(\rho)}{j\omega\mu} \cos(\nu\varphi) e^{-j\beta z} \quad (2.89a)$$

$$H_\varphi = \frac{\nu\beta B(\rho)}{\omega\mu\rho} \sin(\nu\varphi) e^{-j\beta z} \quad (2.89b)$$

$$H_\rho = \frac{x'_{mn}\beta B'(\rho)}{\omega\mu a} \cos(\nu\varphi) e^{-j\beta z} \quad (2.89c)$$

$$E_\varphi = \frac{x'_{mn}B'(\rho)}{a} \cos(\nu\varphi) e^{-j\beta z} \quad (2.89d)$$

$$E_\rho = \frac{\nu B(\rho)}{\rho} \sin(\nu\varphi) e^{-j\beta z} \quad (2.89e)$$

โดยที่ $\nu = \frac{m\pi}{\Phi_0}$ และ $k = \omega\sqrt{\mu\varepsilon}$,

และ $B(\rho)$ และ $B'(\rho)$ คือ สมการ Bessel สำหรับท่อน้ำકීන්ชนิดนี้ ดังสมการข้างล่าง

$$B(\rho) = \frac{J'_v(x'_{mn})N_v(x'_{mn}\frac{\rho}{a}) - N'_v(x'_{mn})J_v(x'_{mn}\frac{\rho}{a})}{J'_v(x'_{mn})} \quad (2.90)$$

$$B'(\rho) = \frac{J'_v(x'_{mn})N'_v(x'_{mn}\frac{\rho}{a}) - N'_v(x'_{mn})J'_v(x'_{mn}\frac{\rho}{a})}{J'_v(x'_{mn})} \quad (2.91)$$

สำหรับโหมด TE แล้ว $m = 0, 1, 2, \dots$ และ $n = 1, 2, 3, \dots$ และ

$J'_v(\cdot), J_v(\cdot)$ คือ Bessel functions ชนิดที่ 1

$N'_v(\cdot), N_v(\cdot)$ คือ Bessel functions ชนิดที่ 2

ซึ่งค่า x'_{mn} ก็คือรากสมการ Bessel ในสมการที่ (78) นั้นเอง

$$J'_v(x'_{mn})N'_v(x'_{mn}b/a) - N'_v(x'_{mn})J'_v(x'_{mn}b/a) = 0 \quad (2.92)$$

เมื่อพิจารณาค่า ความถี่ตัด จะได้ว่า

$$k^2 = k_c^2 + \beta^2 \quad (2.93)$$

$$\text{นั่นคือ } k_c = \frac{x'_{mn}}{a} \quad (2.94)$$

TM modes

สามารถได้ในลักษณะเดียวกับ โหมด TE และจะได้สมการสนามดังนี้

$$E_z = \frac{k_c^2 B(\rho)}{j\omega\mu} \sin(\nu\varphi) e^{-j\beta z} \quad (2.95a)$$

$$H_\varphi = \frac{\nu\beta B(\rho)}{\omega\mu\rho} \cos(\nu\varphi) e^{-j\beta z} \quad (2.95b)$$

$$H_\rho = \frac{x'_{mn}\beta B'(\rho)}{\omega\mu a} \sin(\nu\varphi) e^{-j\beta z} \quad (2.95c)$$

$$E_\varphi = \frac{x'_{mn}B'(\rho)}{a} \sin(\nu\varphi) e^{-j\beta z} \quad (2.95d)$$

$$E_\rho = \frac{\nu B(\rho)}{\rho} \cos(\nu\varphi) e^{-j\beta z} \quad (2.95e)$$

โดยที่ $B(\rho)$ และ $B'(\rho)$ คือ สมการ Bessel สำหรับท่อน้ำકลื่นชนิดนี้ ดังสมการข้างล่าง

$$B(\rho) = \frac{J_\nu(x'_{mn}) N_\nu(x'_{mn} \frac{\rho}{a}) - N_\nu(x'_{mn}) J_\nu(x'_{mn} \frac{\rho}{a})}{J_\nu(x'_{mn})} \quad (2.96)$$

$$B'(\rho) = \frac{J'_\nu(x'_{mn}) N'_\nu(x'_{mn} \frac{\rho}{a}) - N'_\nu(x'_{mn}) J'_\nu(x'_{mn} \frac{\rho}{a})}{J_\nu(x'_{mn})} \quad (2.97)$$

บทที่ 3

วิธีการพัฒนาโปรแกรมเพื่อแสดงการแฝ่กระจายของสนามในท่อนำคืน

ในบทนี้จะกล่าวถึงการนำสมการสนามแม่เหล็กไฟฟ้าที่ได้จากบทที่ 2 มาพัฒนาในบนโปรแกรมเพื่อการคำนวณเชิงตัวเลขและสร้างภาพสมมติฐาน (Matlab) เพื่อศึกษาการกระจายของคลื่นสนามแม่เหล็กไฟฟ้าในท่อนำคืนแต่ละแบบ ซึ่งสามารถได้แสดงอยู่ในเชิงรูปภาพที่เห็นได้ชัดเจน

ซึ่งในขั้นตอนแรกนี้ จะสืบค้นวิธีการพล็อตโดยเปรียบเทียบผลที่ได้กับผลการแสดงการแฝ่กระจายสนามแม่เหล็กไฟฟ้าในท่อนำคืนจากงานวิจัยของผู้ที่เคยทำมาแล้ว [6] ในส่วนที่เป็นท่อนำคืนสีเหลืองและวงกลม และใช้วิธีการที่ได้จากการตรวจสอบความถูกต้องแล้ว แสดงการแฝ่กระจายของสนามของท่อนำคืนชนิดอื่นดัง ได้แสดงไว้ในบทที่ 2 ต่อไป

3.1 ก่อราก

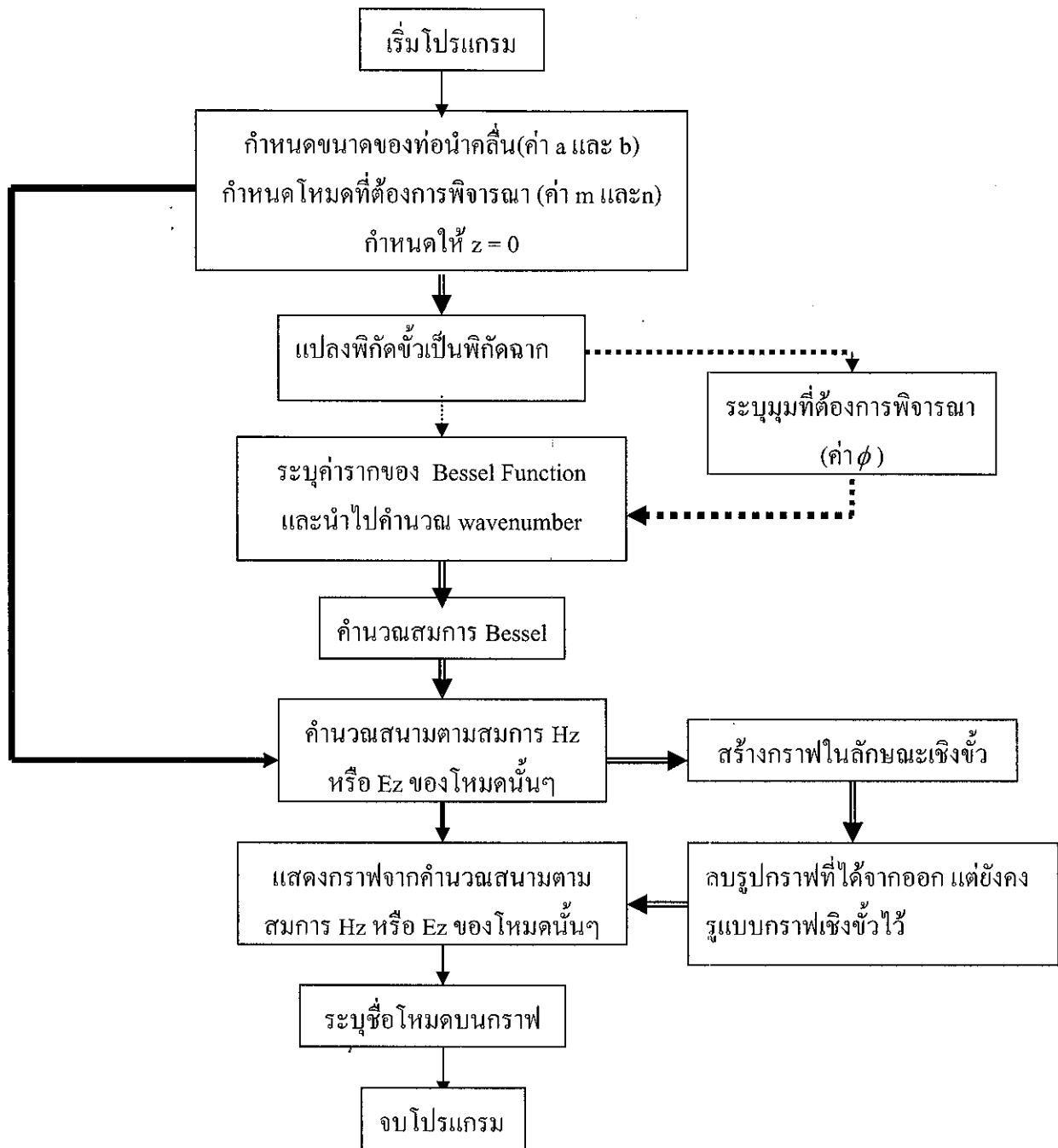
Matlab เป็นโปรแกรมสำเร็จรูปที่ใช้กันอย่างแพร่หลาย ในแวดวงของนักวิทยาศาสตร์และวิศวกรในปัจจุบัน สำหรับ Matlab ได้เริ่มพัฒนาครั้งแรกโดย Dr. Cleve Moler โดยมีจุดประสงค์ของโครงการคือการสร้างเป็นโปรแกรม Matrix Laboratory ซึ่งเป็นที่มาของชื่อโปรแกรม Matlab ทุกวันนี้ Matlab เป็นโปรแกรมที่มีความสามารถหลากหลายเหมาะสมในงานวิศวกรรม ความสามารถหลักที่สำคัญของ Matlab คือ

- Matlab เป็นโปรแกรมเพื่อการคำนวณและแสดงผล ได้ทั้งตัวเลขและรูปภาพซึ่งมีประสิทธิภาพสูง โดยทางบริษัท Math Works ผู้ผลิตได้ให้นิยามว่าเป็น High-Performance Numeric Computation and Visualization Software
- Matlab จะควบคุมการทำงานด้วยชุดคำสั่งและยังสามารถรวมชุดคำสั่งเป็นโปรแกรมได้
- Matlab มี function ที่เหมาะสมกับงานทางวิศวกรรมพื้นฐานมากมาย นอกจากนี้ผู้ใช้งานสามารถเขียน function ขึ้นมาใหม่โดยสามารถใช้ประโยชน์จาก function ที่มีอยู่แล้วเพื่อให้เหมาะสมกับงานของผู้ใช้แต่ละกลุ่ม
- ลักษณะการเขียนโปรแกรมใน Matlab จะใกล้เคียงการเขียนสมการทางคณิตศาสตร์ที่คุ้นเคย จึงง่ายกว่าการเขียนโปรแกรมโดยใช้ภาษาชั้นสูง เช่น C, FORTRAN หรืออื่นๆ
- Matlab มีความสามารถในการเขียนกราฟและรูปภาพทั้ง 2 มิติ และ 3 มิติ ได้อย่างมีประสิทธิภาพ
- Matlab สามารถทำ Dynamic Link กับโปรแกรมอื่นๆ ได้ ว่าจะเป็น Word, Excel หรืออื่นๆ ที่ร่วมทำงานอยู่บน Windows
- Matlab มี toolbox หรือชุด function พิเศษสำหรับผู้ใช้ที่ต้องการใช้งานเฉพาะทางหรืองานด้านวิศวกรรมขั้นสูงอื่นๆ

จะเห็นได้ว่าโปรแกรม Matlab มีความสามารถมากมาย แต่ในบทนี้จะใช้ความสามารถของโปรแกรม Matlab ในการเขียนกราฟและรูปภาพเป็นหลัก

3.2 วิธีการพัฒนาโปรแกรมเพื่อแสดงการเผยแพร่กระจายของสนามในท่อนำคลื่น

โดยมีโครงสร้างในการเขียนโปรแกรมตามแผนผังข้างล่างนี้



รูปที่ 3.1 แสดงการเผยแพร่กระจายสนามไฟฟ้าของโใหมด TE ของท่อนำคลื่นสีเหลือง

จากแผนผังโครงสร้างการเขียนโปรแกรมเป็นการแสดงการเขียนโปรแกรมโดยรวม ของท่อนำคลื่น ทุกแบบที่กล่าวไว้ในบทที่ 2 โดยที่ลักษณะของลูกศรแต่ละแบบที่ระบุในแผนผังจะหมายถึงเส้นทางของท่อนำคลื่นแต่ละชนิด นั่นคือ

หมายถึง เส้นทางในการเขียนโปรแกรมของท่อนนำคลื่นแบบสี่เหลี่ยมอย่างเดียว

หมายถึง เส้นทางในการเขียนโปรแกรมของท่อนนำคลื่นแบบวงกลม แบบเชกเตอร์ของวงกลม แบบแกนร่วมของวงกลม และแบบเชกเตอร์แกนร่วมของวงกลม ที่ใช้เหมือนกัน

หมายถึง เส้นทางในการเขียนโปรแกรมของท่อนนำคลื่นแบบเชกเตอร์ของวงกลม และแบบเชกเตอร์แกนร่วมของวงกลม ที่ใช้เหมือนกัน

หมายถึง เส้นทางในการเขียนโปรแกรมของท่อนนำคลื่นแบบวงกลม และแบบแกนร่วมของวงกลม ที่ใช้เหมือนกัน

หมายถึง เส้นทางในการเขียนโปรแกรมของท่อนนำคลื่นทั้ง 5 ชนิด ที่ใช้เหมือนกัน

ซึ่งจากแผนผังการเขียนโปรแกรมนี้ใช้ในการหาสนามไฟฟ้าในโหนด TE และสนามแม่เหล็กในโหนด TM เท่านั้น ส่วนสนามแม่เหล็กในโหนด TE และสนามไฟฟ้าในโหนด TM นั้นไม่สามารถใช้โครงสร้างนี้แสดงการแผ่การกระจายของคลื่นในท่อนนำคลื่นได้

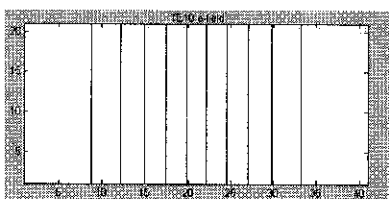
ซึ่งสมการที่ใช้ในการหาสนามนี้ จะใช้เฉพาะสมการสนามในทิศการเดินทางของคลื่นมาคิดเท่านั้น นั่นคือสำหรับโหนด TE สมการสนามที่นำมาใช้คือ H_z และสำหรับโหนด TM สมการสนามที่นำมาใช้คือ E_z นั่นเอง ซึ่งสามารถนำสมการดังกล่าวจากบทที่ 2 มาใช้ได้เลย

3.2.1 ท่อนนำคลื่นสี่เหลี่ยม (Rectangular Waveguide)

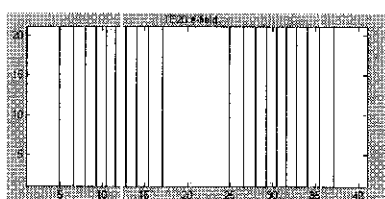
ในหัวข้อนี้ จะกล่าวถึงวิธีการพล็อตสนามแม่เหล็กไฟฟ้าในแต่ละโหนด โดยแยกพิจารณาตามโหนด TE และ TM โดยใช้สมการจากบทที่ 2 มาพัฒนาเขียนในโปรแกรม Matlab

ก) TE Modes

สำหรับโหนด TE นี้ได้แสดงผลการพล็อตสนามไฟฟ้าไว้ทั้ง 6 โหนดด้วยกัน คือ โหนด TE_{10} , TE_{20} , TE_{11} , TE_{21} , TE_{01} และ TE_{02} ดังรูป

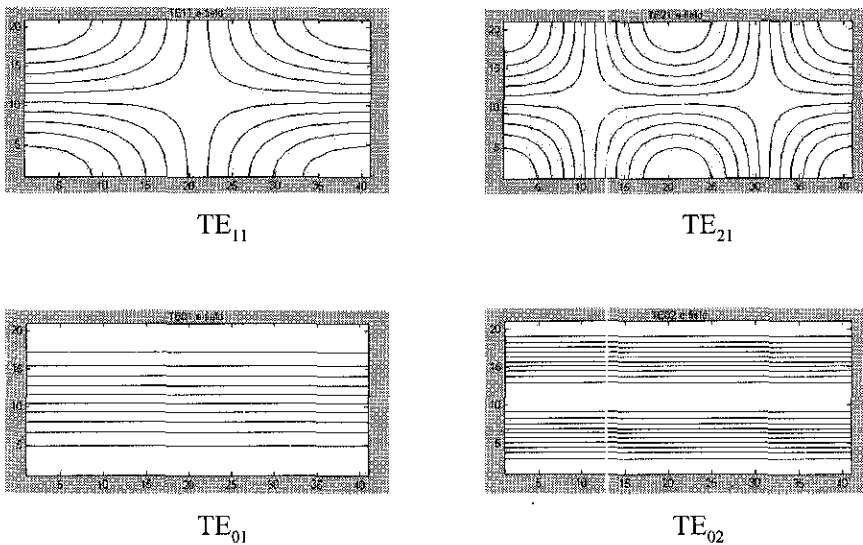


TE_{10}



TE_{20}

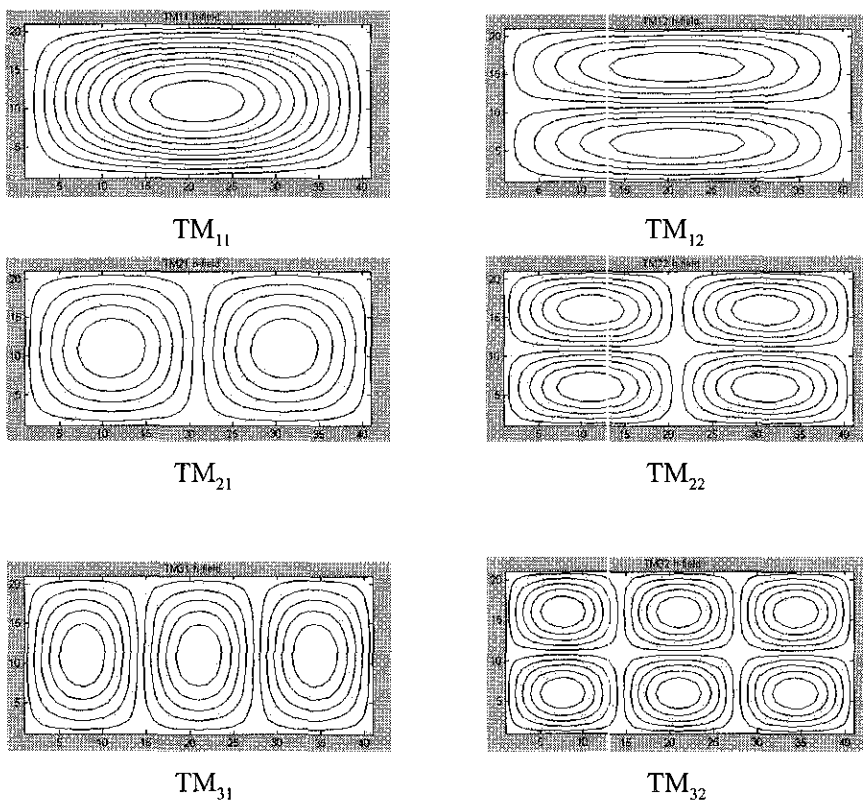
รูปที่ 3.2 แสดงการแผ่กระจายสนามไฟฟ้าของโหนด TE ของท่อนนำคลื่นสี่เหลี่ยม



รูปที่ 3.2(ต่อ) แสดงการແภ์กระจายสนามไฟฟ้าของโหนด TE ของท่อนำคิ่นสีเหลี่ยม

v) TM Modes

สำหรับโหนด TM นี้ได้แสดงผลการพล็อตสนามแม่เหล็กไว้ทั้ง 6 โหนดด้วยกัน คือ โหนด $TM_{11}, TM_{12}, TM_{21}, TM_{22}, TM_{31}$ และ TM_{32} ดังรูป

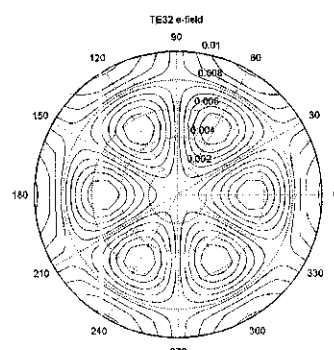
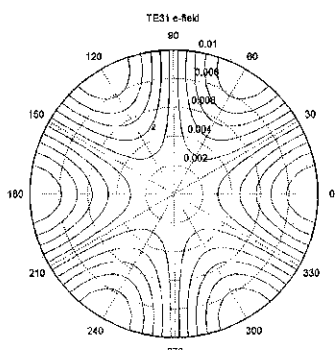
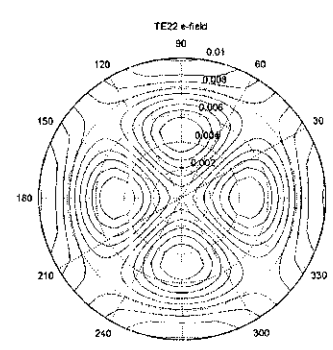
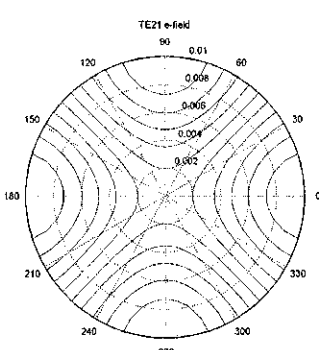
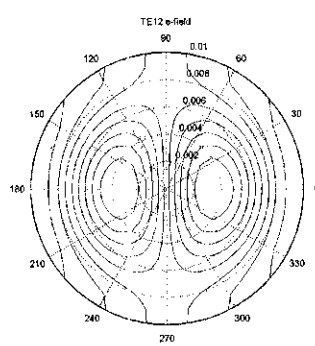
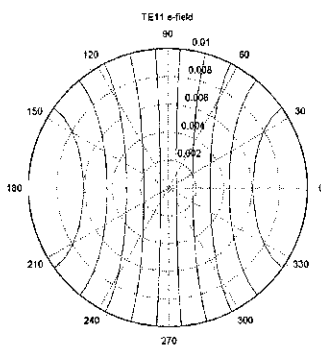


รูปที่ 3.3 แสดงการແภ์กระจายสนามแม่เหล็กของโหนด TE ของท่อนำคิ่นสีเหลี่ยม

3.2.2 ท่อนำคลื่นวงก吟 (Circular Waveguide)

a) TE Modes

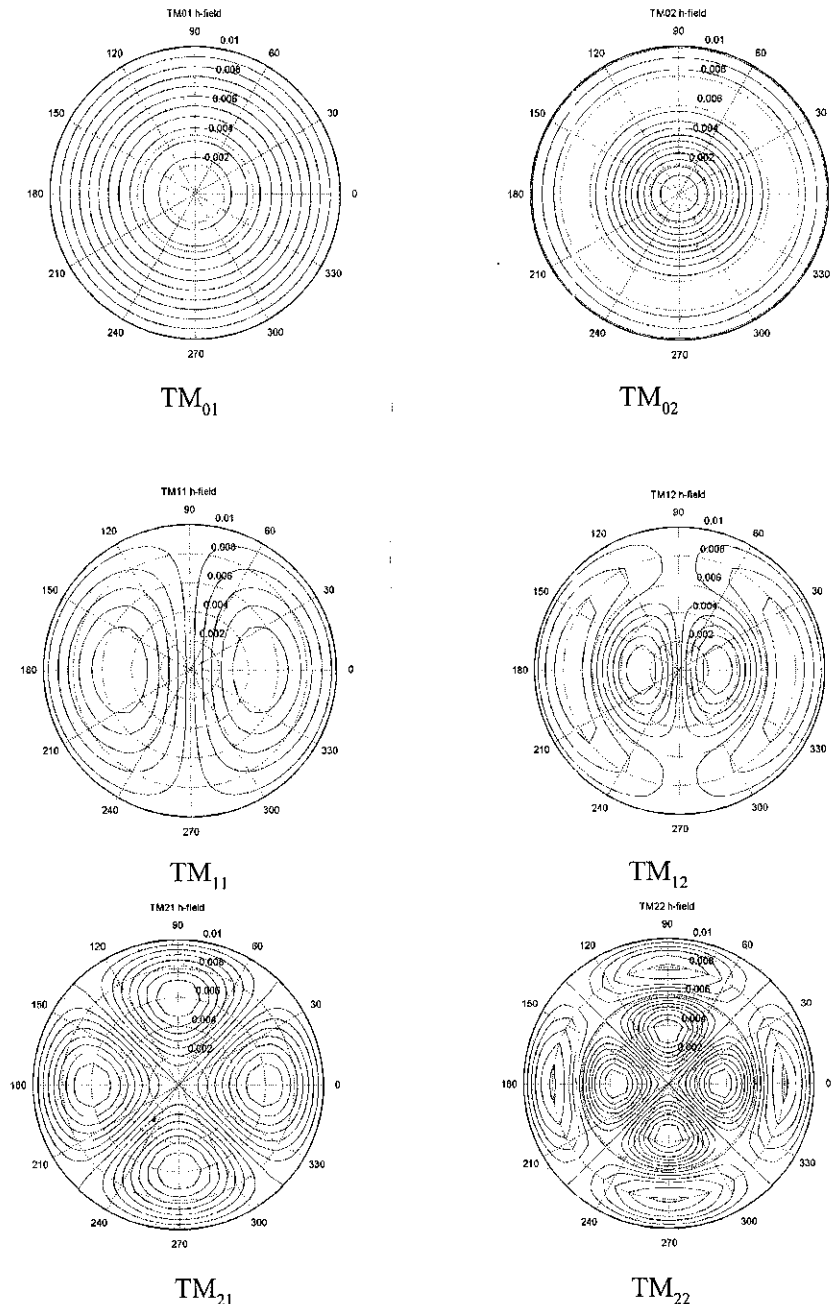
สำหรับโหมด TE นี้ได้แสดงผลการพล็อตสนามไฟฟ้าไว้ทั้ง 6 โหมดด้วยกัน คือ โหมด TE_{11} , TE_{12} , TE_{21} , TE_{22} , TE_{31} และ TE_{32} ดังรูป



รูปที่ 3.4 แสดงการแพร่กระจายสนามไฟฟ้าของโหมด TE ของท่อนำคลื่นแบบวงก吟

4) TM Modes

สำหรับโหมด TM นี้ได้แสดงผลการเพล็อตสนามแม่เหล็กไฟฟ้าไว้ทั้ง 6 โหมดด้วยกัน คือ โหมด TM_{01} , TM_{02} , TM_{11} , TM_{12} , TM_{21} และ TM_{22} ดังรูป



รูปที่ 3.5 แสดงการเผยแพร่กระจายสนามแม่เหล็กของโหมด TM ของท่อนำคลื่นแบบวงกลม

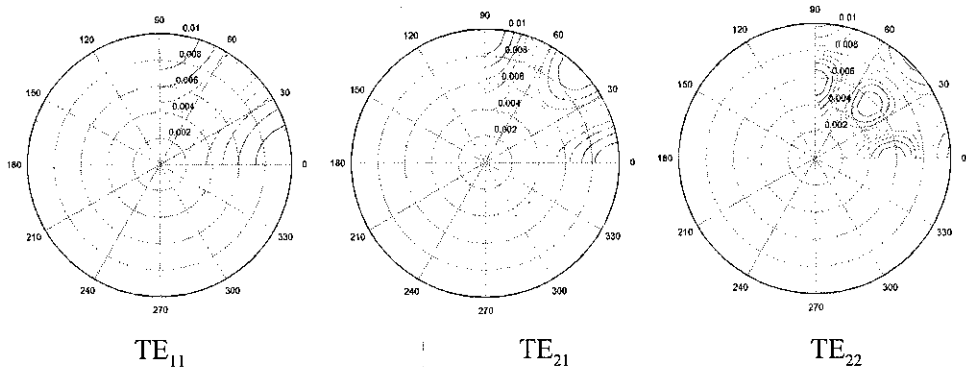
3.2.3 ท่อนำคลื่นแบบเซกเตอร์ของวงกลม (Circular Sectoral Waveguide)

สำหรับท่อนำคลื่นแบบเซกเตอร์ของวงกลมนี้ จะต้องระบุมุมในการพิจารณาเพื่อกำหนดขนาดของท่อนำคลื่น สำหรับบทนี้ได้แสดงไว้ที่มุม 90 องศา และ 60 องศา

ก) พิจารณาที่มุม 90 องศา

(1) TE Modes

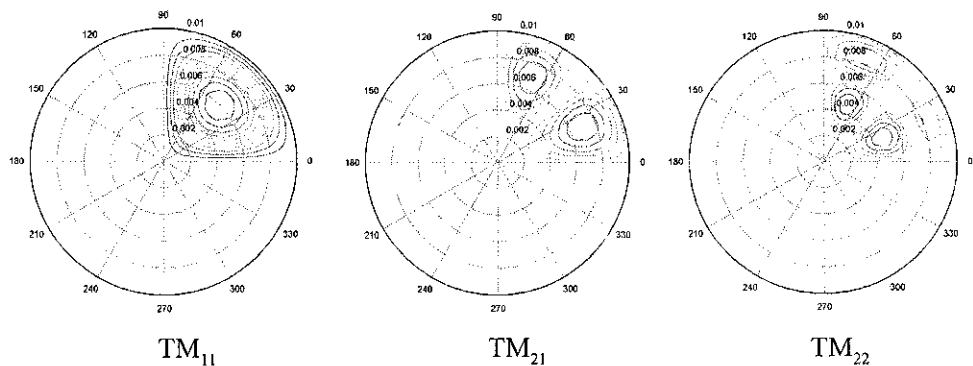
สำหรับโหมด TE นี้ได้แสดงผลการพลีอตสนามไฟฟ้าไว้ทั้ง 3 โหมดด้วยกัน คือ โหมด TE_{11} , TE_{21} และ TE_{22} ดังรูป



รูปที่ 3.6 แสดงการแผ่กระจายสนามไฟฟ้าของโหมด TE ของท่อนำคลื่นแบบเชกเตอร์วงกลม

(2) TM Modes

สำหรับโหมด TM นี้ได้แสดงผลการพลีอตสนามไฟฟ้าไว้ทั้ง 3 โหมดด้วยกัน คือ โหมด TE_{11} , TE_{21} และ TE_{22} ดังรูป

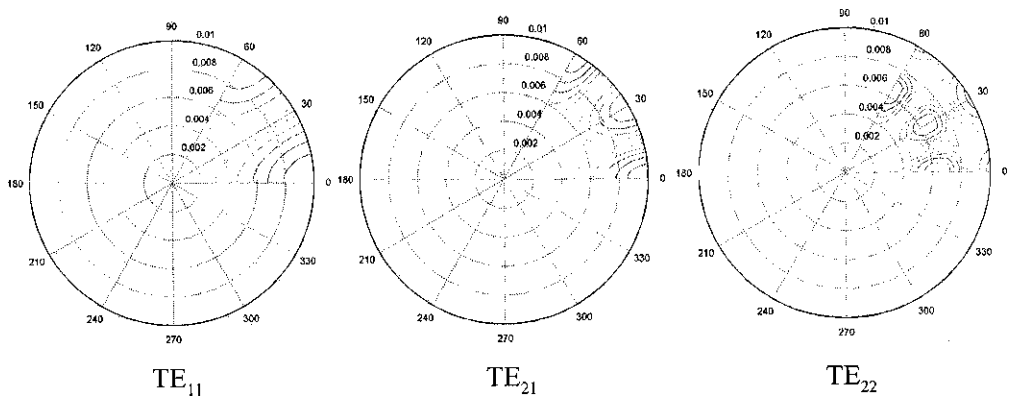


รูปที่ 3.7 แสดงการแผ่กระจายสนามแม่เหล็กของโหมด TE ของท่อนำคลื่นแบบเชกเตอร์วงกลม

ข) พิจารณาที่มุม 60 องศา

(1) TE Modes

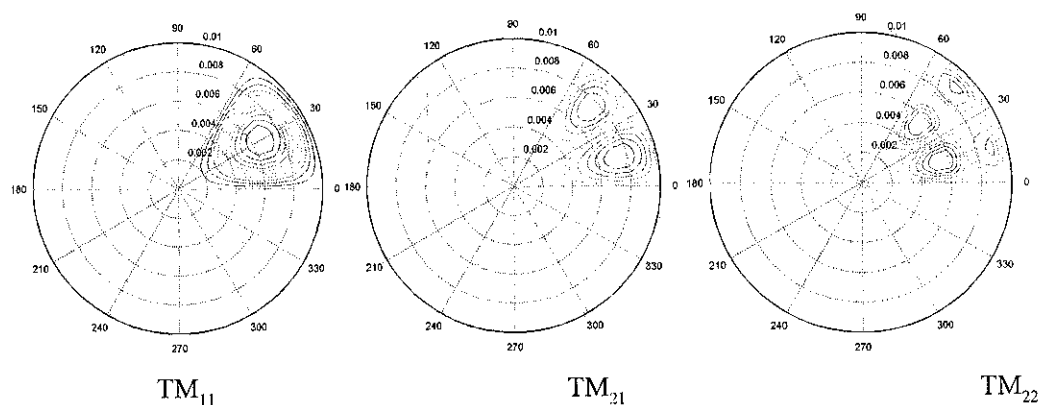
สำหรับโหมด TE นี้ได้แสดงผลการพลีอตสนามไฟฟ้าไว้ทั้ง 3 โหมดด้วยกัน คือ โหมด TE_{11} , TE_{21} และ TE_{22} ดังรูป



รูปที่ 3.8 แสดงการเผยแพร่กระจายสนามไฟฟ้าของโหมด TE ของท่อนำคลื่นแบบเซกเตอร์วงกลม

(2) TM Modes

สำหรับโหมด TM นี้ได้แสดงผลการพลีอตสนามไฟฟ้าไว้ทั้ง 3 โหมดด้วยกัน คือ โหมด TE₁₁, TE₂₁ และ TE₂₂ ดังรูป

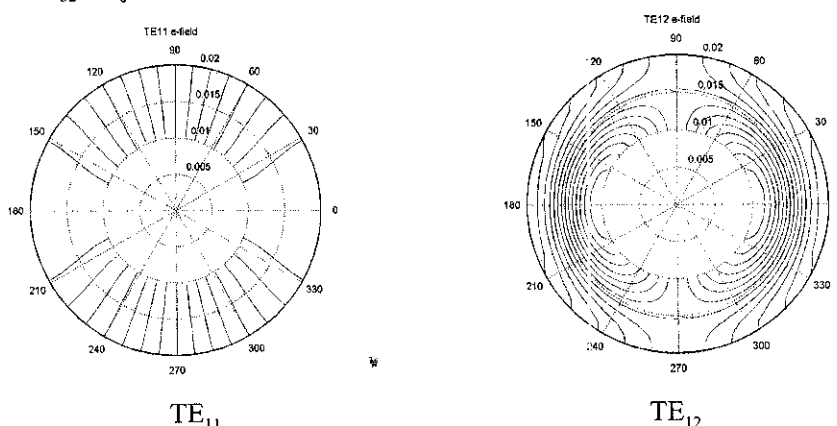


รูปที่ 3.9 แสดงการเผยแพร่กระจายสนามแม่เหล็กของโหมด TM ของท่อนำคลื่นแบบเซกเตอร์วงกลม

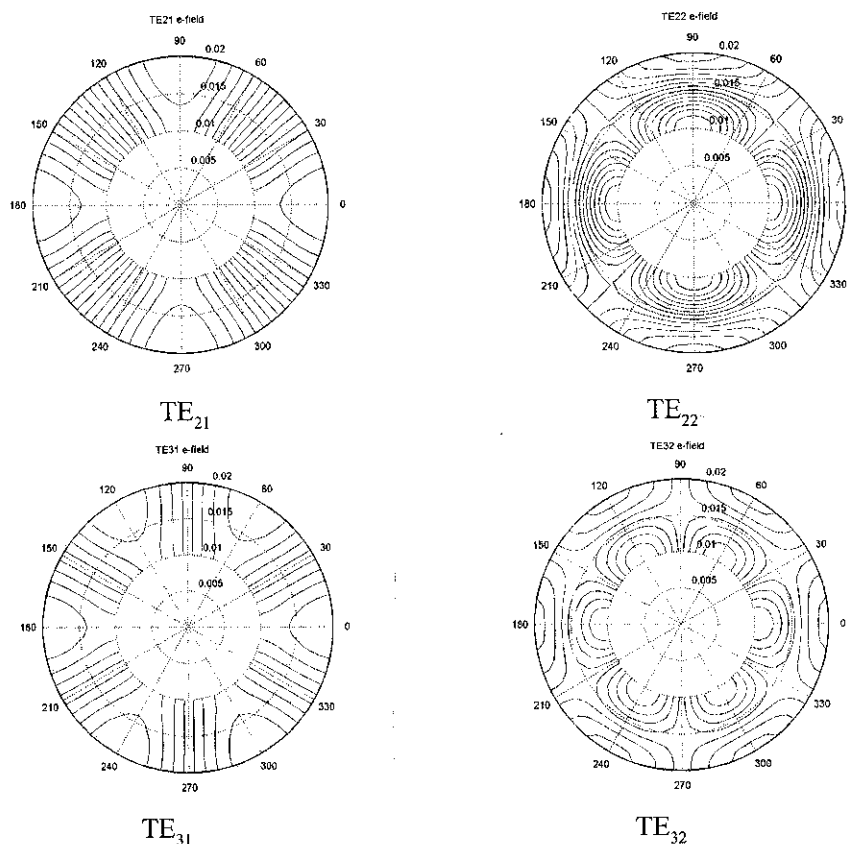
3.2.4 ท่อนำคลื่นแบบทรงกระบอกแกนร่วม (Coaxial Cylinders Waveguide)

a) TE Modes

สำหรับโหมด TE นี้ได้แสดงผลการพลีอตสนามไฟฟ้าไว้ทั้ง 3 โหมดด้วยกัน คือ โหมด TE₁₁, TE₁₂, TE₂₁, TE₂₂, TE₃₁ และ TE₃₂ ดังรูป



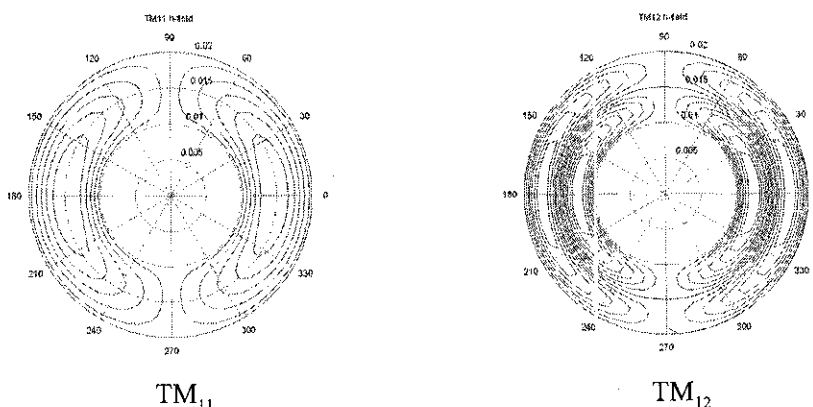
รูปที่ 3.10 แสดงการเผยแพร่กระจายสนามไฟฟ้าของโหมด TE ของท่อนำคลื่นแบบทรงกระบอกแกนร่วม



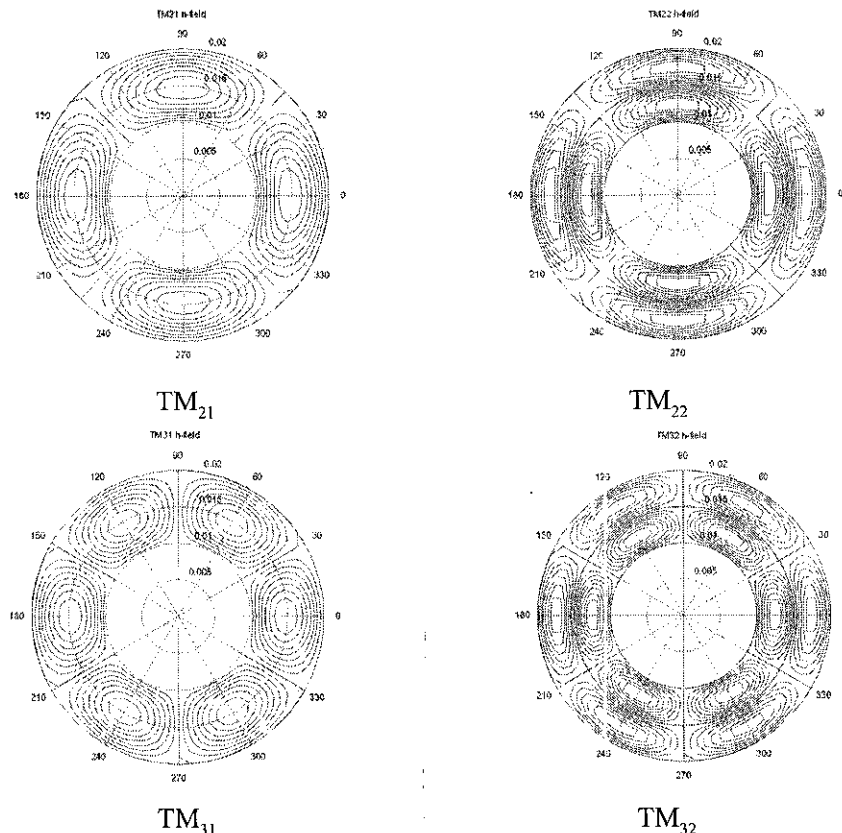
รูปที่ 3.10(ต่อ) แสดงการแผ่กระจายสนามไฟฟ้าของโหมด TE ของท่อน้ำคู่ในแบบทรงกระบอกแกนรวม

ก) TM Modes

สำหรับโหมด TM นี้ได้แสดงผลการพลี Ott สนามไฟฟ้าไว้ทั้ง 3 โหมดด้วยกัน คือ โหมด TM_{11} , TM_{12} , TM_{21} , TM_{22} , TM_{31} และ TM_{32} ดังรูป



รูปที่ 3.11 แสดงการแผ่กระจายสนามแม่เหล็กของโหมด TM ของท่อน้ำคู่ในแบบทรงกระบอกแกนรวม



รูปที่ 3.11(ต่อ) แสดงการแผ่กระจายสนามแม่เหล็กของโหมด TM ของท่อนำคัลลีนแบบทรงกระบอกแกนร่วม

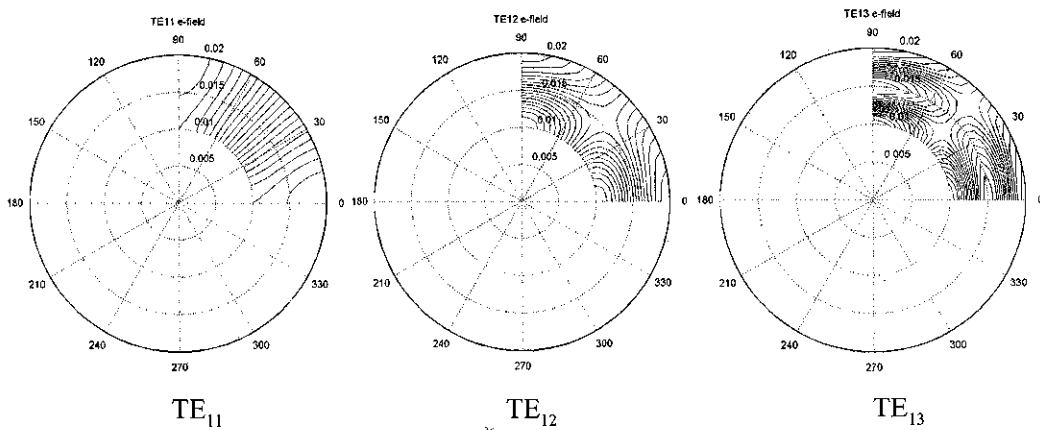
3.2.5 ท่อนำคัลลีนแบบเชกเตอร์ทรงกระบอกแกนร่วม (Concentric Sectoral Cylindrical Waveguide)

สำหรับท่อนำคัลลีนแบบเชกเตอร์ทรงกระบอกแกนร่วมนี้ จะต้องระบุบุนุนในการพิจารณาเพื่อกำหนดขนาดของท่อนำคัลลีน สำหรับบทนี้ได้แสดงไว้ที่มุม 90 องศา 60 องศา และ 45 องศา

ก) พิจารณาที่มุม 90 องศา

(1) TE Modes

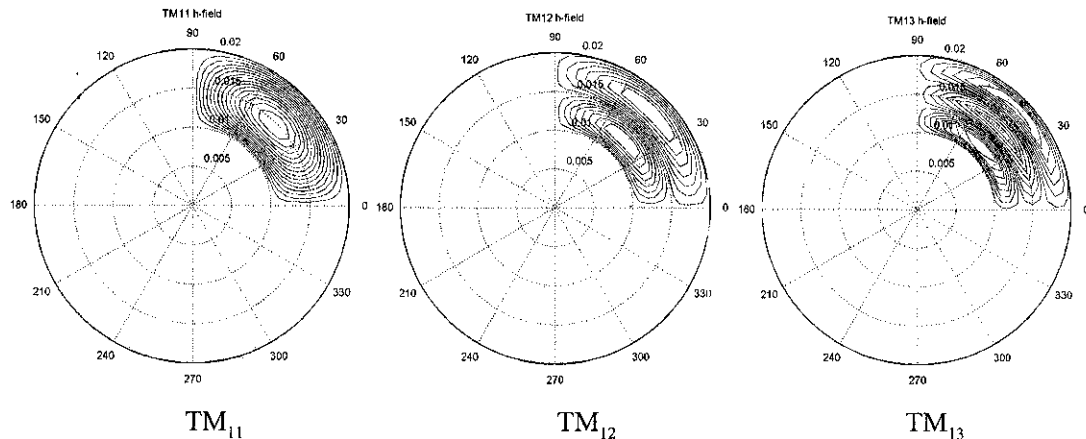
สำหรับโหมด TE นี้ได้แสดงผลการพล็อตสนามไฟฟ้าไว้ทั้ง 3 โหมดด้วยกัน คือ โหมด TE_{11} , TE_{12} และ TE_{13} ดังรูป



รูปที่ 3.12 แสดงการแผ่กระจายสนามไฟฟ้าของโหมด TE ของท่อนำคัลลีนแบบเชกเตอร์ทรงกระบอกแกนร่วม

(2) TM Modes

สำหรับโหมด TM นี้ได้แสดงผลการพล็อตสนามไฟฟ้าไว้ทั้ง 3 โหมดด้วยกัน คือ โหมด TM_{11} , TM_{12} และ TM_{13} ดังรูป

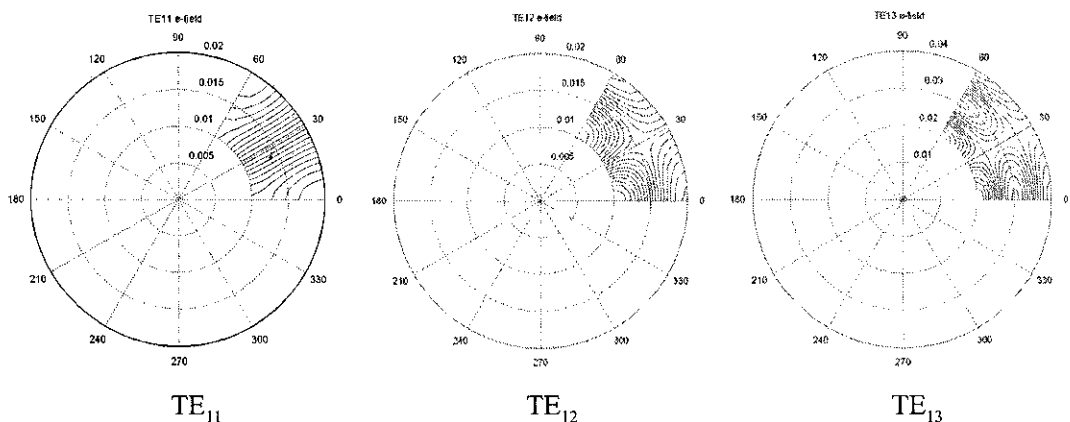


รูปที่ 3.13 แสดงการเผยแพร่กระจายสนามแม่เหล็กของโหมด TM ของท่อน้ำคลื่นแบบเชกเตอร์ ทรงกระบอกแกนร่วม

ข) พิจารณาที่มุม 60 องศา

(1) TE Modes

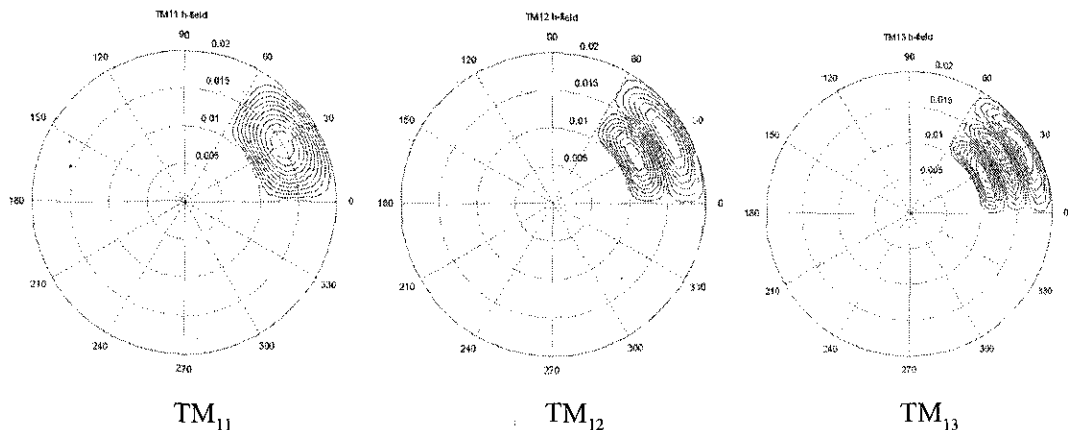
สำหรับโหมด TE นี้ได้แสดงผลการพล็อตสนามไฟฟ้าไว้ทั้ง 3 โหมดด้วยกัน คือ โหมด TE_{11} , TE_{12} และ TE_{13} ดังรูป



รูปที่ 3.14 แสดงการเผยแพร่กระจายสนามไฟฟ้าของโหมด TE ของท่อน้ำคลื่นแบบเชกเตอร์ ทรงกระบอกแกนร่วม

(2) TM Modes

สำหรับโหมด TM นี้ได้แสดงผลการพลีอตสนามไฟฟ้าไว้ทั้ง 3 โหมดด้วยกัน คือ โหมด TM_{11} , TM_{12} และ TM_{13} ดังรูป

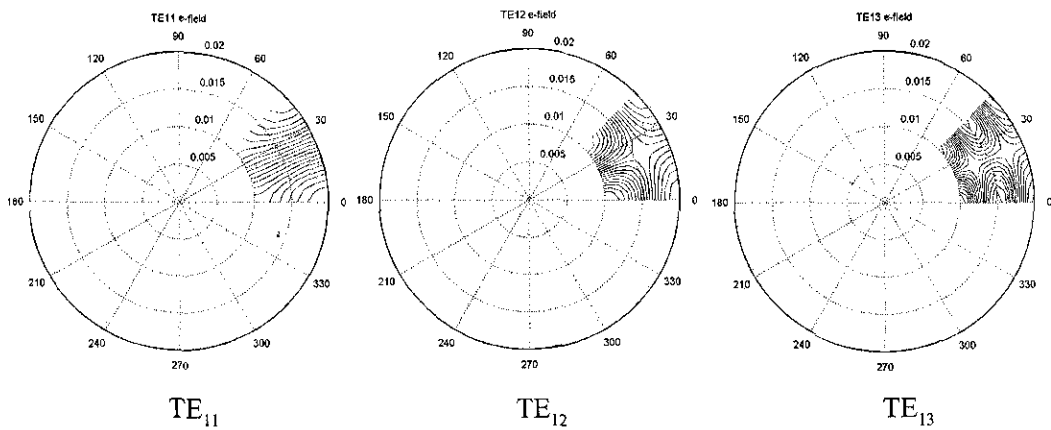


รูปที่ 3.15 แสดงการเผยแพร่กระจายสนามแม่เหล็กของโหมด TM ของท่อน้ำคลื่นแบบวงกลมเชกเตอร์ ทรงกระบอกแกนร่วม

ค) พิจารณาที่มุม 45 องศา

(1) TE Modes

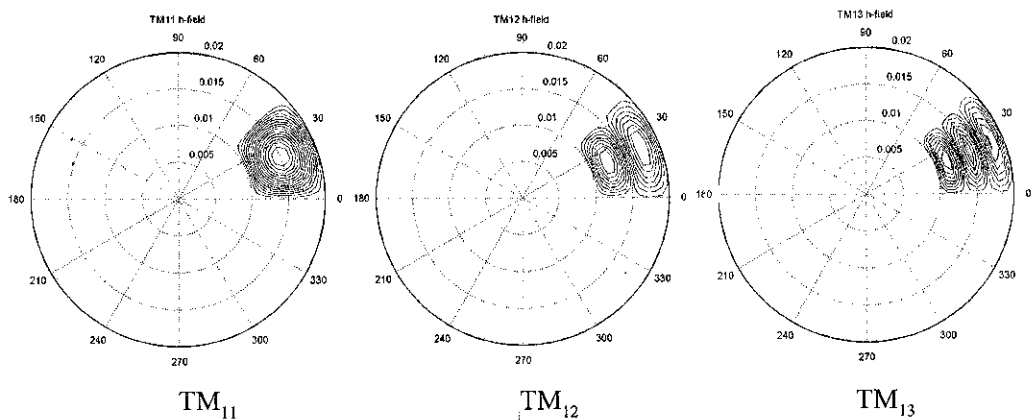
สำหรับโหมด TE นี้ได้แสดงผลการพลีอตสนามไฟฟ้าไว้ทั้ง 3 โหมดด้วยกัน คือ โหมด TE_{11} , TE_{12} และ TE_{13} ดังรูป



รูปที่ 3.16 แสดงการเผยแพร่กระจายสนามไฟฟ้าของโหมด TE ของท่อน้ำคลื่นแบบเชกเตอร์ ทรงกระบอก แกนร่วม

(2) TM Modes

สำหรับโหมด TM นี่ได้แสดงผลการพล็อตสนามไฟฟ้าไว้ทั้ง 3 โหมดด้วยกัน คือ โหมด TM_{11} , TM_{12} และ TM_{13} ดังรูป



รูปที่ 3.17 แสดงการแผ่กระจายสนามแม่เหล็กของโหมด TM ของท่อนำคืนแบบเซกเตอร์ ทรงกระบอกแกนร่วม

บทที่ 4

สรุปผลของโครงงาน

โครงงานฉบับนี้ได้นำเสนอผลการพัฒนาโปรแกรมเพื่อใช้แสดงภาพการแผ่กระจายของสนามแม่เหล็กไฟฟ้าในห้องน้ำคลีนชนิดต่างๆ ด้วยโปรแกรมเพื่อการคำนวณเชิงเลขและการสร้างภาพสมมรรถนะสูง (MATLAB) โดยพัฒนาโปรแกรมจากสมการสนามแม่เหล็กไฟฟ้าในห้องน้ำคลีนแต่ละชนิด

จากบทที่ 2 เป็นการศึกษาสมการพื้นฐานของสนามแม่เหล็กไฟฟ้าในห้องน้ำคลีนแต่ละชนิด ซึ่งจะสังเกตได้ว่าจากห้องน้ำคลีนทั้ง 5 ชนิดนั้นใช้หลักการเดียวกันในการหาสนามแต่ละองค์ประกอบ แต่จะแตกต่างกันเฉพาะการกำหนดโหนด โดยส่วนที่เป็นห้องน้ำคลีนแบบสี่เหลี่ยมนั้น สามารถกำหนดได้ด้วยตัวแปร m และ n โดยตรง ส่วนห้องน้ำคลีนแบบวงกลม ห้องน้ำคลีนแบบเซกเตอร์ของวงกลม ห้องน้ำคลีนแบบแกนร่วมวงกลม และห้องน้ำคลีนแบบเซกเตอร์แกนร่วมของวงกลม จะต้องอ่านค่ารากของ Bessel Function เพื่อกำหนดโหนดผ่านตัวแปร n โดยที่สมการ Bessel Function ของห้องน้ำคลีนแต่ละชนิดนั้นจะไม่มีเหมือนกัน นั่นคือถ้าโดยรวมแล้วสมการสนามแม่เหล็กของห้องน้ำคลีนทั้ง 5 ชนิด สามารถแยกฟังก์ชันที่ควบคุมสมการได้ 3 ส่วน ได้แก่ ส่วนแรกคือ Bessel Function จะเป็นฟังก์ชันที่ควบคุมขนาดของห้องน้ำคลีน ส่วนที่สองคือ Trigonal Function จะเป็นฟังก์ชันที่ควบคุมมุมโดยผ่านขนาดของห้องน้ำคลีน และส่วนที่สามคือ Exponential Function จะเป็นฟังก์ชันที่ควบคุมสนามในทิศการเดินทางของคลีน

ในส่วนของการเขียนโปรแกรมนี้ จะเห็นได้ว่าสมการของสนามแม่เหล็กไฟฟ้าในห้องน้ำคลีนนั้นมีอยู่หลายองค์ประกอบ แต่ในการเลือกสมการเพื่อนำมาเขียนโปรแกรมในการแสดงการแผ่กระจายของสนามไฟฟ้าในห้องน้ำคลีนของโหนด TE และ สนามแม่เหล็กในห้องน้ำคลีนของโหนด TM นั้น จะเลือกสนามที่มีองค์ประกอบเดียวกับทิศการเดินทางเท่านั้นมาพิจารณา

ในการพิสูจน์ความถูกต้องของการพัฒนาการเขียนโปรแกรม เริ่มจากห้องน้ำคลีนสี่เหลี่ยม และห้องน้ำคลีนแบบวงกลมก่อน โดยตรวจสอบค่าวัณฑุกต้องกับงานวิจัยที่มีผู้กระทำมาก่อน [1] และ [7] จากนั้นจึงนำวิธีการที่ตรวจสอบความถูกต้องแล้วไปใช้พัฒนาโปรแกรมเพื่อหาผลเฉลยของการแผ่กระจายของสนามแม่เหล็กไฟฟ้าในห้องน้ำคลีนแบบเซกเตอร์ของวงกลม แบบแกนร่วมวงกลม และแบบเซกเตอร์แกนร่วมของวงกลมในลักษณะของรูปภาพทั้ง 5 ชนิดของห้องน้ำคลีน โดยแสดงความแตกต่างของโหนดการแผ่กระจายคลีนออกไปในหลายโหนดย่อย

ข้อจำกัดของโครงการนี้ ก็คือ ยังคงสามารถแสดงผลลัพธ์ที่เป็นรูปภาพได้เฉพาะ
สนามไฟฟ้าในโหมด TE และสนามแม่เหล็กในโหมด TM เท่านั้น สำหรับในส่วนของ
สนามแม่เหล็กของโหมด TE และสนามไฟฟ้าในโหมด TM นั้นยังไม่สามารถใช้วิธีการเดียวกันนี้ได้
เนื่องจากมีระยะเวลาที่จำกัด และต้องใช้ความรู้ที่สูงกว่าที่ได้ศึกษามา ดังนั้นวิธีการแสดงผลการแฝ่
กระจายของสนามแม่เหล็กของโหมด TE และสนามไฟฟ้าของโหมด TM นั้น จะต้องทำการศึกษา
ในอนาคตต่อไป

บรรณานุกรม

- [1] David M. Pozar, Microwave Engineering, John Wiley & Sons Inc., New York, pp.120-140, 1998.
- [2] Gayle F. Miner, Line and Electronic Field for Engineers, Oxford University, pp.783-810, 1996
- [3] ดร. กนต์ธร ช้านิปัรศาสน์, โปรแกรมเพื่อการคำนวณเชิงตัวเลข และการสร้างภาพสมรรถนะสูง (MATLAB), มหาวิทยาลัยเทคโนโลยีสุรนารี
- [4] Darko Dajfez, James A. Gerald, Plotting Vector field with a Personal computer, IEEE Transactions on Microwave theory and Techniques, Vol. MTT-35, No.11, November 1987
- [5] S.W. Lue, Y. Zhuang, S.M. Cao, The Equivalent Parameters for the Radiating Slot on a Sectoral Waveguide, IEEE Transaction on Antennas and Propagation , Vol. 42, No. 11, November 1994
- [6] C. S. Lee, S. W. Lee, S. L. Chuang, Plot of Modal Field Distribution int Rectangular and Circular Waveguides, IEEE Transactions on Microwave theory and Techniques, Vol. MTT-33, No. 3, March 1985
- [7] Atef Elsherbeni, Darko Kajfez, Sheng Zeng, Circular Sectoral Waveguides, IEEE Antennas and Propagation Magazine, Vol. 33, No. 6, December 1991

ประวัติผู้เขียน

นายวรากรณ์ สาริกา เกิดเมื่อวันที่ 3 มกราคม พ.ศ. 2523 มีภูมิลำเนาอยู่ จ.สุราษฎร์ธานี สำเร็จการศึกษาระดับมัธยมปลายจากโรงเรียนพรพีพิทยาคม จ. สุราษฎร์ธานี เมื่อปี พ.ศ. 2541 ปัจจุบันเป็นนักศึกษาชั้นปีที่ 4 สาขาวิศวกรรมโทรคมนาคม สำนักวิศวกรรมศาสตร์ มหาวิทยาลัยเทคโนโลยีสุรนารี

